



ČESKÉ VYSOKÉ UČENÍ TECHNICKÉ V PRAZE

**Fakulta stavební
Katedra mechaniky**

Wangovo dláždění v numerické analýze kompozitů

Wang tiling in numerical analysis of composites

Diplomová práce

Studijní program: Stavební inženýrství
Studijní obor: Konstrukce pozemních staveb

Vedoucí práce: Ing. Anna Kučerová, Ph.D.

Bc. Lukáš Zrůbek

Praha 2012

Zde je prostor pro zadání.

Čestné prohlášení

Prohlašuji, že jsem tuto diplomovou práci vypracoval samostatně pouze za odborného vedení vedoucí mé diplomové práce Ing. Anny Kučerové, Ph.D.

Dále prohlašuji, že veškeré podklady, ze kterých jsem čerpal, jsou uvedeny v seznamu použité literatury.

Datum:

Podpis:

Rád bych velice poděkoval Ing. Anně Kučerové, Ph.D. za ochotu, podporu a trpělivost a za její cenné připomínky a rady při vedení této diplomové práce.

Také moc děkuji Ing. Janu Novákovi, Ph.D. a doc. Ing. Vítu Šmilauereovi, Ph.D. za konzultace a cenné rady.

Rád bych poděkoval i rodině a přítelkyni za podporu, trpělivost a pochopení.

Tato práce byla podpořena projekty číslo P105/11/P370 a P105/10/1682, udělenými Grantovou agenturou České republiky.

Děkuji

Abstrakt

V dnešní době je pro plné využití potenciálu materiálů nutné detailně pochopit charakteristické fyzikální procesy odehrávající se na úrovni mikrostruktury daného materiálu. Ovšem vyhodnocení mikromechanických polí složitých heterogenních mikrostruktur v měřítku makro domény je výpočetně velmi náročný úkol. Jednou z metod, která umožňuje zjednodušení tohoto úkolu, a o které pojednává tato práce, je metoda Wangova dláždění.

Wangovo dláždění využívá princip čtyř-stranných čtvercových dominových hracích kamenů - dlaždic. Spojování těchto dlaždic je povoleno na základě shodné morfologie hran, ovšem dlaždice není možno nijak rotovat nebo zrcadlit. Skupina dlaždic tvoří množinu, která reprezentuje komprimovanou mikrostrukturu. Mikromechanická pole jsou vypočtena na dlaždicích množiny a následně použita pro rekonstrukci mikromechanických polí. Ale protože mechanické veličiny, jako jsou napětí, deformace nebo posuny, jsou nelokální, vznikají v rekonstruovaných mikromechanických polích nespojitosti. Proto jsme do výpočtu mikromechanických polí zahrnuli i sousední dlaždice a vytvořili tak rozšířené množiny dlaždic.

Každou dlaždici standardní množiny dlaždic rozšíříme o všechny přípustné kombinace zahrnutých sousedních dlaždic. Mikromechanická pole vyhodnotíme na těchto dlaždicích se zahrnutými sousedními dlaždicemi. Ze získaných mikromechanických polí jsou odříznuty výsledky pro okolní dlaždice a jsou ponechány pouze mikromechanická pole středových dlaždic, tak zvané dlaždice rozšířené Wangovy množiny. Pro rekonstrukci mikromechanických polí částí nebo celých 2D rovin, jsou využity právě tyto výsledky. Takto zrekonstruovaná mikromechanická pole vykazují menší nespojitosti a průměrné chyby než pole zrekonstruovaná z výsledků spočtených na dlaždicích standardní množiny.

Abstract

Nowadays, to fully exploit the potential of materials, it is necessary to understand in detail to characteristic physical processes taking place at the level of the material microstructure. However, the evaluation of micromechanical fields of complex heterogeneous microstructures in macro-scale domain is a tremendous task. One of the methods, which allows simplification of this task is the method of Wang tiling.

Wang tiling uses a concept of four-sided square dominoes – tiles. The connection of adjacent Wang tiles is allowed through a morphology assigned to congruent edges, but the tiles are not allowed to rotate. Tiles are gathered in set, which represent the compressed microstructure. Micromechanical fields are evaluated on each tile of set and then used to reconstruct micromechanical field of original domain. But because of non-local character of mechanical quantities as stresses, strains or displacements, the reconstructed micromechanical fields contain discontinuities. That is why we add nearest adjacent tiles to evaluating micromechanical fields and created so called extended Wang tiles.

We extend each tile from standard set of tiles sets by every admissible combinations of included adjacent tiles and evaluate micromechanical fields on this combinations. Acquired micromechanical fields are cut off by eight extending tiles and only the results for center tiles of extended tiles are stored. These are called tiles of extended Wang tile set and can be further used for reconstruction of micromechanical field of original domain, which contains less discontinuities and the error is smaller than in micromechanical fields reconstructed from results obtained on tiles from standard set.

Klíčová slova

Wangovo dláždění, dlaždice, mikrostruktury, rozšířené množiny Wangových dlaždic, Fastest Fourier Transform in the West, programovací jazyk C/C++

Keywords

Wang tilings, tiles, microstructures, extended sets of Wang tiles, Fastest Fourier Transform in the West, programming language C/C++

Obsah

1	Úvod	14
2	Modelování heterogenních materiálů	16
3	Wangovo dláždění	17
3.1	Dlaždice	18
3.2	Wangova množina dlaždic	18
3.3	Dláždění	19
3.4	Standardní množiny Wangových dlaždic	20
3.4.1	Generování dlaždic	21
3.4.2	Využití	22
3.5	Rozšířené množiny Wangových dlaždic	22
3.5.1	Rozšiřování o více vrstev	24
4	Výpočty	26
5	Program pro výpočet	29
5.1	Proměnné	31
5.2	Funkce programu	33
5.2.1	Varianta 1	33
5.2.2	Varianta 2	34
5.2.3	Knihovna FFTW	34
5.3	Databáze	36
5.4	Budoucnost a další vhodné úpravy	37
6	Výsledky	38
7	Závěr	44
A	Kód programu v jazyce C/C++	47
B	Obrázky	67

C Seznam použitého softwaru	77
D Obsah přiloženého CD	78

Seznam tabulek

3.1	Počty dlaždic v minimálních Wangových množinách v závislosti na počtu hranových informací (viz rovnice 3.1 a 3.2).	20
3.2	Počty možností výběru dlaždic na jednotlivé pozice a počty možných kombinací pro minimální Wangovy množiny při rozšíření na 3×3 dlaždice.	24
3.3	Počty možných kombinací pro minimální Wangovy množiny při zvětšujícím se rozšíření zahrnutých dlaždic.	25
4.1	Hodnoty Youngova modulu pružnosti a Poissonova čísla pro jednotlivé fáze.	26
4.2	Zatěžovací stavy.	27
6.1	Validní mapa dláždění použitá pro rekonstrukce mikrostruktur.	40

Seznam obrázků

3.1	Příklad Wangových dlaždic [19].	17
3.2	Příklad mozaiky vytvořené pomocí Wangových dlaždic [19].	17
3.3	(a) Základní směry návaznosti dlaždic, (b) vedlejší směry návaznosti dlaždic.	18
3.4	(a) Minimální množina Wangových dlaždic W8/2-2 složená z 8 dlaždic, (b) příklad neperiodického dláždění s vyznačenými severo-západními vazbami na hranách [15].	19
3.5	Mikrofotografie příčného řezu uhlíkovými vlákny spojených polymerem [20].	20
3.6	(a) Příklad dvoufázové mikrostruktury, (b) graf závislosti dvoubodové pravděpodobnosti S^2 na vzdálenosti bodů.	21
3.7	Mapa dláždění s vyznačeným rozšířením na 3×3 dlaždice.	23
3.8	(a) Dlaždice s rozšířením na 3×3 , (b) mikrostruktura 3×3 , (c) vypočtená mikromechanická pole, (d) šedě označené výsledky k odříznutí, (e) výsledná dlaždice rozšířené množiny Wangových dlaždic.	23
3.9	Mapa dláždění s vyznačeným rozšířením na 5×5 dlaždic.	25
5.1	Diagram průběhu programu.	30
5.2	Příklad vstupního souboru pro variantu 1.	32
5.3	Příklad vstupního souboru pro variantu 2.	32
5.4	Použité funkce pokročilého prostřední knihovny FFTW.	35
5.5	Funkce knihovny FFTW pro alokaci paměti.	36
5.6	Funkce knihovny FFTW pro dealokaci paměti.	36
6.1	Označení a jednotlivé dlaždice všech množin použitých k výpočtům. . .	38
6.2	Graf závislosti chyby na geometrii f^S (rovnice 3.6) na počtu disků n^d obsažených v množině.	39
6.3	(a) Zrekonstruovaná mikrostruktura množinou W8/2-2-010, (b) zrekonstruovaná mikrostruktura množinou W8/2-2-125.	39
6.4	Směry.	40

6.5	Napětí σ_y pro množinu W8/2-2-010 zatížené jednotkovou deformací ve směru y , (a) mikromechanické pole vypočtené v celku, (b) mikromechanické pole zrekonstruované pomocí rozšířené množiny Wangových dlaždic, (c) odečtená mikromechanická pole $a - b$	41
6.6	Napětí σ_y pro množinu W8/2-2-114 zatížené jednotkovou deformací ve směru y , (a) mikromechanické pole vypočtené v celku, (b) mikromechanické pole zrekonstruované pomocí rozšířené množiny Wangových dlaždic, (c) odečtená mikromechanická pole $a - b$	41
6.7	Graf závislosti průměrné chyby f^Σ na počtu disků n^d obsažených v množině.	42
6.8	Graf průměrných chyb.	43
B.1	Zrekonstruované mikrostruktury: (a) W8/2-2-010, (b) W8/2-2-017, (c) W8/2-2-027, (d) W8/2-2-038, (e) W8/2-2-052, (f) W8/2-2-067, (g) W8/2-2-084, (h) W8/2-2-104, (j) W8/2-2-125	67
B.2	Množina W8/2-2-010, složka napětí σ_y	68
B.3	Množina W8/2-2-010, složka napětí σ_z	68
B.4	Množina W8/2-2-010, složka napětí τ_{yz}	68
B.5	Množina W8/2-2-017, složka napětí σ_y	69
B.6	Množina W8/2-2-017, složka napětí σ_z	69
B.7	Množina W8/2-2-017, složka napětí τ_{yz}	69
B.8	Množina W8/2-2-027, složka napětí σ_y	70
B.9	Množina W8/2-2-027, složka napětí σ_z	70
B.10	Množina W8/2-2-027, složka napětí τ_{yz}	70
B.11	Množina W8/2-2-038, složka napětí σ_y	71
B.12	Množina W8/2-2-038, složka napětí σ_z	71
B.13	Množina W8/2-2-038, složka napětí τ_{yz}	71
B.14	Množina W8/2-2-052, složka napětí σ_y	72
B.15	Množina W8/2-2-052, složka napětí σ_z	72
B.16	Množina W8/2-2-052, složka napětí τ_{yz}	72
B.17	Množina W8/2-2-067, složka napětí σ_y	73
B.18	Množina W8/2-2-067, složka napětí σ_z	73
B.19	Množina W8/2-2-067, složka napětí τ_{yz}	73
B.20	Množina W8/2-2-084, složka napětí σ_y	74
B.21	Množina W8/2-2-084, složka napětí σ_z	74
B.22	Množina W8/2-2-084, složka napětí τ_{yz}	74
B.23	Množina W8/2-2-104, složka napětí σ_y	75
B.24	Množina W8/2-2-104, složka napětí σ_z	75
B.25	Množina W8/2-2-104, složka napětí τ_{yz}	75
B.26	Množina W8/2-2-125, složka napětí σ_y	76

B.27 Množina W8/2-2-125, složka napětí σ_z	76
B.28 Množina W8/2-2-125, složka napětí τ_{yz}	76

Kapitola 1

Úvod

V dnešní stále se zrychlující době je kladen velký důraz na vývoj nových technologií, rozvoj technologií stávajících a výzkum. Také jsou kladeny stále větší nároky a požadavky na koncové produkty. Trend stupňujících se požadavků je nejvíce způsoben trhem a konkurenčním prostředím, kde je nutné pro uplatnění se, nabízet nové, lepší a levnější produkty či služby. Bohužel požadavky mohou být, a velmi často i jsou, protichůdné a ne vždy je možné nabídnout produkt kvalitnější a s nižšími náklady. Nicméně pro alespoň částečné splnění těchto požadavků je nutné získávat lepší znalosti o chování materiálů a využít tak jejich vlastnosti na maximum. Jako konkrétní příklad z oboru stavebnictví je možné uvést materiál beton. Základními složkami betonu jsou voda, plnivo, pojivo a další dnes již nenahraditelné složky pro zlepšení konkrétních vlastností, jak čerstvé betonové směsi tak zatvrdlého betonu. Z počtu vyjmenovaných složek lze odvodit, že beton je materiálem heterogenním. Ovšem pokud pracujeme s betonem při statických výpočtech standardních "makro"konstrukcí, považujeme ho za homogenní materiál s jednotnými fyzikálními i mechanickými vlastnostmi v každém bodě. Tento předpoklad sebou přináší výhody jako je především zjednodušení výpočtů, ale i určité nevýhody ve formě vnášení nepřesností do výpočtu. Tyto nepřesnosti však hrají rozhodující úlohu při modelování komplexních konstrukcí, jejichž kolaps představuje nadstandardní riziko obecného ohrožení, obrovských finančních nebo kulturních ztrát. Jedná se zejména o modelování vodních nádrží, tunelů, jaderných elektráren, mostů a významných historických budov. Lze tedy namítnout proč v dnešní době počítačů nepoužíváme k výpočtům přesné makro nebo mikro struktury a přesné vlastnosti jednotlivých složek. Bohužel i s velkým výpočetním výkonem dnešních počítačů by byly takové výpočty časově velmi náročné a především neefektivní. Jak tedy získat potřebné znalosti o chování betonu, o probíhajících dějích a o mechanických vlastnostech na mikroskopické úrovni? Jednou z metod, kterou lze zjednodušit náročné výpočty, a o které pojednává i tato práce, je metoda takzvaného Wangova dláždění popsána v kapitole 3, kde je vysvětlen princip, způsob tvorby dlaždic, jednotlivé pojmy a použití základních a rozšířených množin dlaždic při výpočtech. V kapitole 4 je popsán princip výpočtů

mechanických polí s využitím homogenizace, Wangova dláždění, Fourierovy transformace a volně šířitelné knihovny funkcí pro výpočty Fourierovy transformace s názvem FFTW. V kapitole 5 je popsán mnou vytvořený program, popis proměnných, algoritmu a důležitých funkcí a částí použitých pro výpočty. Kapitola 6 zobrazuje získaná data z výpočtů, především spočtená mikromechanická pole a průměrné chyby pro použité množiny dlaždic.

Kapitola 2

Modelování heterogenních materiálů

Existuje celá řada metod, které se zabývají modelováním mechanické odezvy v heterogenních materiálech. Podrobněji jsou používané metody rozepsány v [5]. My se v této kapitole zaměříme na numerickou homogenizaci, která je pravděpodobně nej-používanější metodou v současné době, opět podrobnější vysvětlení a členění samotného homogenizačního přístupu lze nalézt v [7] a základy této matematické metody lze nalézt mimo jiné v [1].

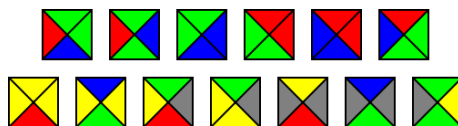
Numerická homogenizace je účinným nástrojem pro odvození efektivních modelů v měřítku našeho zájmu. Materiálové heterogenity jsou na tzv. mezo- nebo mikro-úrovni charakterizovány pomocí periodické jednotkové buňky (PUC) [17] nebo pomocí statisticky ekvivalentní periodické jednotkové buňky (SEPUC) [21]. Využití homogenizace však předpokládá významné oddělení měřítek mezi makro- a mikro-úrovni, což není u mnoha stavebních materiálů možné splnit (např. v případě betonu či zdiva). Homogenizace se přesto používá i v těchto případech, ačkoliv tím dochází ke vnášení dalších nepřesností do výpočtu.

Naproti tomu lze využít nové metody, které nepracují na mikro-úrovni pouze s jednou periodickou buňkou, ale reprezentují médium pomocí množiny buněk, tzv. dlaždic. Dlaždice jsou vzájemně kompatibilní a pomocí určitého algoritmu mohou pokrýt nekonečně velkou oblast tak, aby tato oblast nebyla periodická. Tato metoda se nazývá Wangovo dláždění a bude vysvětleno podrobněji v následující kapitole.

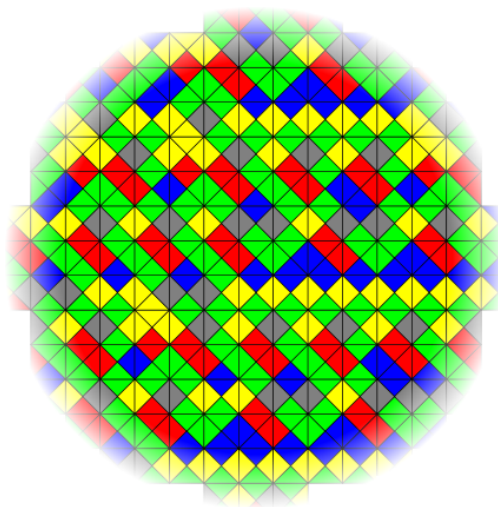
Kapitola 3

Wangovo dláždění

Zmíněnou metodou je v mechanice neznámá metoda Wangových dlaždic. Poprvé tuto myšlenku představil matematik, logik a filozof Hao Wang v roce 1961 [18]. Zjednodušeně lze Wangovo dláždění přirovnat ke hře domino. Hrací kameny (kostky) v tomto případě představují stejně velké čtvercové dlaždice s rozdílnou informací uloženou na hranách, například různé barvy (viz obrázek č. 3.1). Takovéto dlaždice je možné k sobě přikládat na základě shodných informací/barev jednotlivých hran, avšak není dovoleno dlaždice nijak rotovat ani zrcadlit. S určitým počtem vhodně vybraných dlaždic (množinou) je možné vytvořit neomezeně velké rovinné neperiodické mozaiky (viz obrázek č. 3.2).



Obrázek 3.1: Příklad Wangových dlaždic [19].



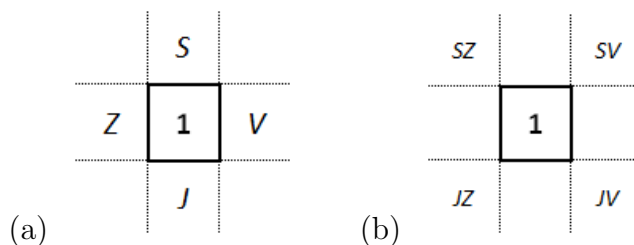
Obrázek 3.2: Příklad mozaiky vytvořené pomocí Wangových dlaždic [19].

3.1 Dlaždice

Jak již bylo popsáno v úvodu této kapitoly, Wangovo dláždění lze přirovnat ke hře domino, kde dva k sobě přiložené kameny musí mít shodný počet značek (shodnou informaci) na polovinách, kterými kameny sousedí. V případě Wangova dláždění nazýváme kameny dlaždice, které jsou čtvercového tvaru a lze je tak k sobě přikládat ve čtyřech různých směrech. Pro snadnější orientaci nazvěme tyto směry podle světových stran sever (S), jih (J), východ (V) a západ (Z) (viz obrázek 3.3a). Každá dlaždice musí tedy obsahovat čtyři informace, jednu v každém směru, podle kterých lze rozhodnout zda je možné umístit dlaždice vedle sebe. Tyto informace nejsou jako v dominu uloženy na celých polovinách dlaždic, ale pouze na jednotlivých hranách. Z toho vyplývá, že dvě přilehlé dlaždice nemusí být totožné, stačí pokud mají shodnou hranovou informaci. Informace může být reprezentována například barvou, řeckým písmenem jako na obrázku 3.4, číslicí, atd. Dlaždice není dovoleno nijak rotovat ani zrcadlit, proto jsou dvě dlaždice se stejnou kombinací hranových informací, z nichž jedna je otočená o násobky $\pi/4$, považovány za různé.

3.2 Wangova množina dlaždic

Wangovy dlaždice se seskupují do takzvaných Wangových množin s konečným počtem dlaždic. Takovou množinu označujeme například $W8/2-2$. První číslice za písmenem W (Wang) znamená, že se množina skládá z 8 unikátních dlaždic. Číslice za lomítkem označují počet hranových informací n_i^c , kde i reprezentuje svislý nebo vodorovný směr. Konkrétně, v množině s označením $W8/2-2$ se vyskytují na svislých hranách dlaždic 2 různé hranové informace $\{\alpha, \gamma\}$ a na vodorovných hranách také 2 hranové informace $\{\beta, \delta\}$ (viz obrázek 3.4). Každá z hranových informací je v množině zastoupena stejnou frekvencí výskytu $q_\alpha = q_\beta = q_\gamma = q_\delta = \frac{1}{4}$.



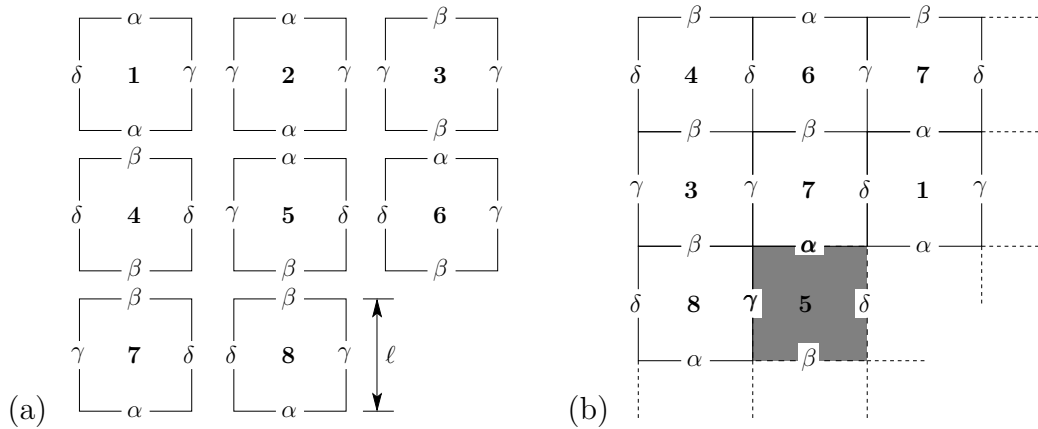
Obrázek 3.3: (a) Základní směry návaznosti dlaždic, (b) vedlejší směry návaznosti dlaždic.

Množiny dlaždic lze rozdělit na minimální, nekompletní a kompletní. Počet dlaždic v kompletní množině n^{cs} je roven všem možným kombinacím dlaždic v závislosti na počtu hranových informací n_i^c (viz rovnice 3.1). V minimální množině je počet dlaždic

n^t (rovnice 3.2) závislý na počtu dlaždic v kompletní množině n^{cs} a počtu možností výběru při umísťování dlaždice do rohu mezi dvě dlaždice již umístěné, například n^{SZ} . Rohové pozice nazýváme podle kombinace světových stran, tedy severo-západ (SZ), severo-východ (SV), jiho-západ (JZ) a jiho-východ (JV) (viz obrázek 3.3b). Množinu, která je složena z většího počtu dlaždic než množina minimální a zároveň je tento počet dlaždic menší než u množiny kompletní, lze nazvat množinou nekompletní.

$$n^{cs} = (n_1^c n_2^c)^2 \quad (3.1)$$

$$n^t = n^{SZ} \sqrt{n^{cs}} \quad (3.2)$$



Obrázek 3.4: (a) Minimální množina Wangových dlaždic $W8/2-2$ složená z 8 dlaždic, (b) příklad neperiodického dláždění s vyznačenými severo-západními vazbami na hranách [15].

3.3 Dlážďění

Dlážďěním označujeme mozaiku vytvořenou skládáním dlaždic vedle sebe, která vyplňuje určitou rovinnou oblast. Pokud se nám podařilo vytvořit takové dlážďění, že nikde v prostoru domény nechybí dlaždice, nazýváme toto dlážďění validním. Abychom libovolným skládáním dlaždic vytvořili vždy neperiodická validní dlážďění, potřebujeme takzvanou aperiodickou množinu dlaždic [3]. Tento předpoklad potřeby přísně aperiodické množiny může být eliminován, pokud se při tvorbě dlážďění budeme řídit Cohen-Shade-Hiller-Deussen (CSHD) dlážďícím algoritmem [2]. Při dodržení pravidel CSHD algoritmu jsme stále schopni vytvořit neperiodické validní dlážďění, a to i s jinými než striktně aperiodickými množinami dlaždic.

Postup tvorby dlážďění CSHD algoritmem je následující. Při dlážďění rovinné domény začínáme s prázdným prostorem, kam umísťujeme první dlaždici. Protože neexistují pro tuto dlaždici žádná omezení, můžeme z množiny náhodně vybrat jednu

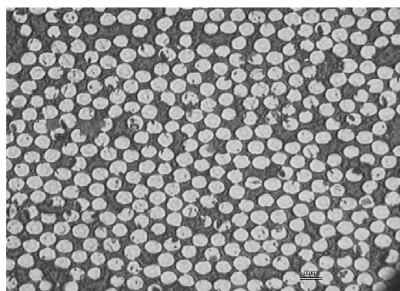
libovolnou. Tato dlaždice nám již určí první podmínky pro umístění dlaždic na další pozice. Pro umístění na jednu z pozic v hlavních směrech (S, J, V, Z), je nutné splnit podmínku shodnosti příslušné hrany. Počet vhodných dlaždic se tedy snížil. Když jako příklad použijeme minimální množinu, je počet vhodných dlaždic na každou z pozic v hlavních směrech roven $n_i^c \cdot 2$. Jednu z vhodných dlaždic náhodně vybereme a umístíme. Umístěním čtyř dlaždic v hlavních směrech získáme čtyři pozice ve vedlejších směrech (SV, SZ, JV, JZ). Pro umístění dlaždice na rohovou pozici je nutné splnit dvě podmínky shodnosti hran. A abychom dodrželi pravidla CSHD algoritmu, je minimální počet dlaždic pro umístění do rohu n^{SZ} roven 2 dlaždicím, aby byla vždy zajištěna možnost výběru. Opět tedy náhodně vybereme jednu z dvojice vhodných dlaždic a umístíme. Opakováním potřebných kroků a dodržováním pravidel CSHD algoritmu vyskládáme požadovanou rovinnou doménu.

n_i^c		n^{cs}	n^{SZ}	n^t	Označení
n_1^c	n_2^c				
2	2	16	2	8	W8/2-2
3	3	81	2	18	W18/3-3
4	4	256	2	32	W32/4-4
5	5	625	2	50	W50/5-5
...	...				

Tabulka 3.1: Počty dlaždic v minimálních Wangových množinách v závislosti na počtu hranových informací (viz rovnice 3.1 a 3.2).

3.4 Standardní množiny Wangových dlaždic

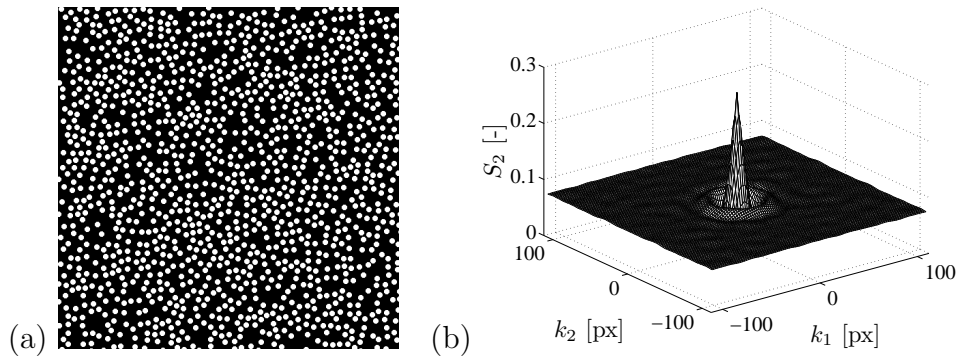
Jelikož v následující podkapitole 3.5 definujeme nový název rozšířené množiny Wangových dlaždic, nazvěme všechny výše popsané množiny Wangových dlaždic jako standardní. Pokud chceme využít Wangova dláždění k výpočtům mikromechanických polí konkrétní mikrostruktury, potřebujeme nejprve vytvořit takovou standardní množinu dlaždic, aby validní dláždění (rekonstruovaná mikrostruktura) vytvořené touto množinou obsahovalo stejné nebo větší množství informací jako původní mikrostruktura.



Obrázek 3.5: Mikrofotografie příčného řezu uhlíkovými vlákny spojených polymerem [20].

3.4.1 Generování dlaždic

Pro zjednodušení vysvětlení, použijme náhodnou mikrostrukturu kompozitu obsahující pouze dvě fáze (viz obrázek 3.6a). Mikrostruktura je složena z homogenní izotropní matrice s náhodně rozdělenými, stejně velkými, kruhovými inkluzemi (disky) o poloměru ρ . Jako materiál odpovídající této mikrostruktuře si lze představit například příčný řez uhlíkovými vlákny spojených polymerem (viz obrázek 3.5). Abychom byli schopni popsat mikrostrukturu jinak než pouze její geometrií a ověřit tak zda námi vytvořené dlaždice dostatečně reprezentují originální mikrostrukturu, použijeme statistický deskriptor nazývaný dvoubodová pravděpodobnost (rovnice 3.5) [15]. Tento deskriptor říká jaká je pravděpodobnost, že dva body o určité vzdálenosti leží ve stejné fázi, v tomto případě ve fázi bílé, reprezentující inkluze. Takto spočítáme pravděpodobnost pro všechny možné vzájemné polohy dvou bodů mikrostruktury a získáme graf zobrazený na obrázku 3.6b).



Obrázek 3.6: (a) Příklad dvoufázové mikrostruktury, (b) graf závislosti dvoubodové pravděpodobnosti S^2 na vzdálenosti bodů.

Při tvorbě množiny dlaždic nejprve navrhne n^t počátečních dlaždic o hranové délce $\ell \in \mathbb{N}$ v pixelech, ve kterých volně rozložíme n^d disků o poloměru ρ . Každý disk lze prezentovat pomocí vektoru p_i (rovnice 3.3), kde $t_d \in \{1, \dots, n^t\}$ odpovídá číslu dlaždice a $x_{1,d}, x_{2,d}$ souřadnicím středu disku v dlaždici. Následuje optimalizace těchto dlaždic pomocí metody simulovaného žhání [10, 16]. Velice zjednodušeně lze říci, že vždy pohneme jedním z n^d disků, pomocí takto upravených dlaždic a CSHD algoritmu zrekonstruujeme originální mikrostrukturu a rovnicí 3.6, vypočítáme chybu geometrie mikrostruktury originální a zrekonstruované.

$$p = [t_d, x_{1,d}, x_{2,d}]_{d=1}^{n^d} \quad (3.3)$$

$$\mathbb{K}^{\mathcal{O}} = \left\{ m \in \mathbb{Z}^2 : -\frac{n_i^{\mathcal{O}}}{2} < m_i \leq \frac{n_i^{\mathcal{O}}}{2}, i = 1, 2 \right\}. \quad (3.4)$$

$$S_2(k) = \frac{1}{n_1^{\mathcal{O}} n_2^{\mathcal{O}}} \sum_{m \in \mathbb{K}^{\mathcal{O}}} \chi(m) \chi([k + m]_{\mathbb{K}^{\mathcal{O}}}) \quad (3.5)$$

$$f^S(p) = \frac{1}{n_1^{\mathcal{O}_S} n_2^{\mathcal{O}_S}} \sum_{k \in \mathbb{K}^{\mathcal{O}_S}} \left(S_2(k) - \tilde{S}_2(p, k) \right)^2 \quad (3.6)$$

Více podrobnějších informací o tvorbě dlaždic, je možné nalézt v článku 'Modelling and Simulation in Materials Science and Engineering' od autorů J. Nováka, A. Kučerové a J. Zemana [15].

3.4.2 Využití

Tímto způsobem získáme dlaždice optimalizované čistě z hlediska geometrie [14]. Pokud na takovýchto dlaždicích spočteme mikromechanická pole, a pokusíme se pomocí nich rekonstruovat celé mikromechanické pole originální mikrostruktury zjistíme, že ač byly dlaždice hranově kompatibilní, spočtená mikromechanická pole jednotlivých dlaždic, již kompatibilní být nemusí. Při rekonstrukci mikromechanického pole originální mikrostruktury vznikají na hranách jednotlivých vedle sebe umístěných mikromechanických polí nespojitosti. V článku [15] je popsán možný postup optimalizovat dlaždice z hlediska geometrie a mikromechanických polí zároveň sloučením obou kritérií váhování do jedné minimalizované funkce. Bohužel tato dvě kritéria jdou velmi často proti sobě a dochází ke vzniku periodického opakování disků v rekonstruované mikrostruktuře.

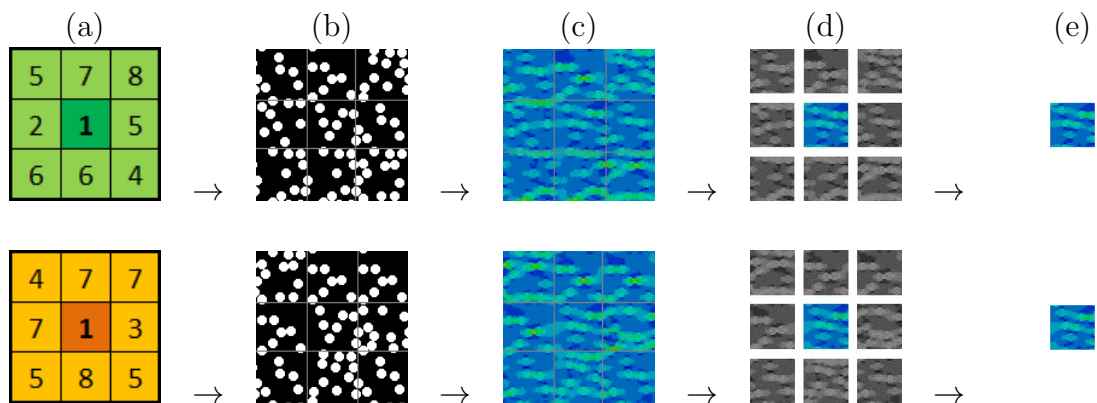
3.5 Rozšířené množiny Wangových dlaždic

Naprosto novým přístupem, kterým by mělo být možné počítat kompatibilní mikromechanická pole, a který by měl být ověřen v této diplomové práci, jsou rozšířené množiny Wangových dlaždic. Principem je použití standardní Wangovy množiny optimalizované pouze z hlediska geometrie a při výpočtu mikromechanických polí jednotlivých dlaždic zahrnout i konečný počet vrstev okolních dlaždic. Pro vysvětlení uvažujme rozšíření o jednu okolní vrstvu na 3×3 dlaždice jak je zobrazeno na obrázku 3.7.

2	1	6	3	4	8	3	6	4
2	8	6	3	3	5	7	8	5
6	5	2	7	7	2	1	5	8
2	2	2	7	1	6	6	4	7
4	8	6	3	4	2	2	7	1
3	3	4	7	7	2	8	5	8
1	5	7	1	3	4	1	6	5
8	6	5	8	5	1	4	8	4
1	4	2	7	2	2	7	1	5

 Obrázek 3.7: Mapa dláždění s vyznačeným rozšířením na 3×3 dlaždice.

Při výpočtu mikromechanického pole pro zelenou nebo oranžovou dlaždici číslo 1, rozšíříme tuto dlaždici o její nejbližší sousední dlaždice (obrázek 3.8a) na hlavních (S, J, V, Z) a vedlejších pozicích (SV, SZ, JV, JZ). Vytvoříme příslušnou mikrostrukturu složenou ze 3×3 dlaždic (obrázek 3.8b) a pro tuto mikrostrukturu vypočteme mikromechanické pole (obrázek 3.8c). Z vypočtených výsledků nás zajímají pouze výsledky odpovídající středové dlaždici, proto můžeme výsledky odpovídající dlaždicím okolním odříznout (obrázek 3.8d). Výsledkem je dlaždice rozšířené Wangovy množiny dlaždic (obrázek 3.8e).


 Obrázek 3.8: (a) Dlaždice s rozšířením na 3×3 , (b) mikrostruktura 3×3 , (c) vypočtená mikromechanická pole, (d) šedě označené výsledky k odříznutí, (e) výsledná dlaždice rozšířené množiny Wangových dlaždic.

Množina	Počet možností výběru dlaždic									Počet kombinací
	střed	<i>S</i>	<i>J</i>	<i>V</i>	<i>Z</i>	<i>SZ</i>	<i>SV</i>	<i>JZ</i>	<i>JV</i>	$n_{3 \times 3}^{comb}$
W8/2-2	8	4	4	4	4	2	2	2	2	32, 768
W18/3-3	18	6	6	6	6	2	2	2	2	373, 248
W32/4-4	32	8	8	8	8	2	2	2	2	2, 097, 152
W50/5-5	50	10	10	10	10	2	2	2	2	8, 000, 000

Tabulka 3.2: Počty možností výběru dlaždic na jednotlivé pozice a počty možných kombinací pro minimální Wangovy množiny při rozšíření na 3×3 dlaždice.

Na výslednou dlaždici rozšířené Wangovy množiny má tedy vliv kombinace dlaždic okolních. Těchto kombinací je velké množství (viz tabulka 3.2), proto existuje i velké množství dlaždic v rozšířené množině. Pro každou kombinaci dlaždic 3×3 , která splňuje podmínky validního dláždění, existuje jedna dlaždice rozšířené množiny Wangových dlaždic. Velmi důležité je v tomto případě označení jednotlivých dlaždic, které můžeme provést například pro zelenou dlaždici číslo 1 kódem 1-57854662. Číslice na první pozici představuje číslo středové dlaždice a následujících osm číslic nám dává informaci o tom jaké byly dlaždice sousední v tomto pořadí pozic $SZ - S - SV - V - JV - J - JZ - Z$.

Po získání všech dlaždic rozšířené Wangovy množiny můžeme rekonstruovat mikromechanické pole. Postupujeme podle mapy dláždění (obrázek 3.7), kdy vybíráme vždy takovou dlaždici z rozšířené množiny, aby měla sousední dlaždice odpovídající sousedním dlaždicím v mapě dláždění.

3.5.1 Rozšiřování o více vrstev

Princip rozšířených množin Wangových dlaždic jsme vysvětlili na příkladu rozšíření o jedinou vrstvu okolních dlaždic, tedy na rozměr 3×3 . Toto rozšíření však můžeme zvětšit na dvě vrstvy okolních dlaždic, čímž dostaneme rozměr 5×5 (obrázek 3.9), na tři vrstvy a tedy rozměr 7×7 , na čtyři vrstvy a tak dále. Samozřejmě se zvětšujícím se počtem vrstev rozšíření se zvětšuje i počet možných kombinací okolních dlaždic a tedy i počet dlaždic v rozšířené Wangově množině $n_{m \times m}^{comb}$, který lze určit podle rovnice 3.7. Přehled počtu kombinací pro zvětšující se rozšíření je zobrazen v tabulce 3.3.

Pro výpočty v této diplomové práci bylo použito pouze rozšíření na rozměr 3×3 . Zda dojde ke zlepšení spojitosti mikromechanických polí rozšířením o více než jednu vrstvu nebylo prozatím ověřeno.

2	1	6	3	4	8	3	6	4
2	8	6	3	3	5	7	8	5
6	5	2	7	7	2	1	5	8
2	2	2	7	1	6	6	4	7
4	8	6	3	4	2	2	7	1
3	3	4	7	7	2	8	5	8
1	5	7	1	3	4	1	6	5
8	6	5	8	5	1	4	8	4
1	4	2	7	2	2	7	1	5

Obrázek 3.9: Mapa dláždění s vyznačeným rozšířením na 5×5 dlaždic.

$$n_{m \times m}^{comb} = n^t \cdot (2n_i^c)^{2(m-1)} \cdot (n^{SZ})^{(m-1)^2} \quad (3.7)$$

Množina	Počet kombinací $n_{m \times m}^{comb}$ pro velikost rozšíření $m \times m$					
	1×1	3×3	5×5	7×7	9×9	11×11
W8/2-2	$8.0 \cdot 10^0$	$3.3 \cdot 10^4$	$3.4 \cdot 10^{10}$	$9.2 \cdot 10^{18}$	$6.3 \cdot 10^{29}$	$1.1 \cdot 10^{43}$
W18/3-3	$1.8 \cdot 10^1$	$3.7 \cdot 10^5$	$2.0 \cdot 10^{12}$	$2.7 \cdot 10^{21}$	$9.4 \cdot 10^{32}$	$8.3 \cdot 10^{46}$
W32/4-4	$3.2 \cdot 10^1$	$2.1 \cdot 10^6$	$3.5 \cdot 10^{13}$	$1.5 \cdot 10^{23}$	$1.7 \cdot 10^{35}$	$4.7 \cdot 10^{49}$
W50/5-5	$5.0 \cdot 10^1$	$8.0 \cdot 10^6$	$3.3 \cdot 10^{14}$	$3.4 \cdot 10^{24}$	$9.2 \cdot 10^{36}$	$6.3 \cdot 10^{51}$

Tabulka 3.3: Počty možných kombinací pro minimální Wangovy množiny při zvětšujícím se rozšíření zahrnutých dlaždic.

Kapitola 4

Výpočty

Pro ověření metody rozšířených množin Wangových dlaždic a výsledků získaných touto metodou byl vytvořen program popsany v kapitole 5 pomocí něhož byly provedeny následující výpočty.

Při výpočtech předpokládáme izotropní, lineárně pružné materiály (fáze). Pro každou fázi je nutné zadat jako jediné vstupní hodnoty Youngův modul pružnosti E a Poissonovo číslo ν . V našem případě pracujeme s binárními mikrostrukturami pouze o dvou fázích, kdy jsme poměr Youngova modulu pružnosti fází zvolili v poměru 10 : 1. Vstupní hodnoty pro jednotlivé fáze jsou zobrazeny v tabulce 4.1.

Fáze		E	ν
i	barva		
0	černá	10	0.4
1	bílá	1	0.1

Tabulka 4.1: Hodnoty Youngova modulu pružnosti a Poissonova čísla pro jednotlivé fáze.

Pro každý pixel (voxel - částice objemu představující hodnotu v pravidelné mřížce 3D prostoru) je nutné vypočítat matici tuhosti. Výpočet matice tuhosti D pro každý pixel (voxel) probíhá podle následujícího vzorce:

$$D = \frac{E}{(1 + \nu)(1 - 2\nu)} \begin{bmatrix} 1 - \nu & \nu & \nu & 0 & 0 & 0 \\ \nu & 1 - \nu & \nu & 0 & 0 & 0 \\ \nu & \nu & 1 - \nu & 0 & 0 & 0 \\ 0 & 0 & 0 & 0.5 - \nu & 0 & 0 \\ 0 & 0 & 0 & 0 & 0.5 - \nu & 0 \\ 0 & 0 & 0 & 0 & 0 & 0.5 - \nu \end{bmatrix} \quad (4.1)$$

Zatížení mikrostruktury je vyvoláno jednotkovou deformací v požadovaném směru. Jeden zatěžovací stav je tedy představován tenzorem deformací ε ve tvaru dle Voighta

(rovnice 4.2), kde jsou všechny složky kromě jedné rovny 0.0 a složka v jejímž směru požadujeme vyvodit zatížení je rovna 1.0.

$$\varepsilon^i = \{\varepsilon_x, \varepsilon_y, \varepsilon_z, \gamma_{yz}, \gamma_{zx}, \gamma_{xy}\}^T \quad (4.2)$$

Protože byl program v rámci této diplomové práce úmyslně tvořen tak, aby byla většina funkcí připravena pracovat s 3D vstupními daty, bylo pro práci s 2D daty nutné pevně stanovit jeden z rozměrů na hodnotu 1. Z programovacích důvodů popsaných v části 5.2.3 toto není možné provést pro rozměr z . Proto bylo nutné nastavit na hodnotu 1 rozměr x a při práci s 2D tedy pracujeme v prostoru $y-z$. Z tohoto důvodu bylo třeba přizpůsobit i zatěžovací stavy, abychom dosáhli zatížení ve směru y, z a yz , tedy v rovině bitmapy. Jednotlivé zatěžovací stavy jsou zobrazeny v tabulce 4.2.

Zatěžovací stav	Složky tenzoru deformací					
	ε_x	ε_y	ε_z	γ_{yz}	γ_{zx}	γ_{xy}
1	0.0	1.0	0.0	0.0	0.0	0.0
2	0.0	0.0	1.0	0.0	0.0	0.0
3	0.0	0.0	0.0	1.0	0.0	0.0

Tabulka 4.2: Zatěžovací stavy.

Vynásobením matice tuhosti D a tenzoru deformací ε (rovnice 4.3), získáme tenzor napětí σ ve tvaru dle Voighta (rovnice 4.4).

$$\sigma^i = D\varepsilon^i \quad (4.3)$$

$$\sigma^i = \{\sigma_x, \sigma_y, \sigma_z, \tau_{yz}, \tau_{zx}, \tau_{xy}\}^T \quad (4.4)$$

Následuje iterační algoritmus (rovnice 4.6) prezentovaný v článku [13] s vynecháním testu konvergence, kde E odpovídá zatěžovacímu stavu, x představuje pixel (voxel) z množiny všech pixelů (voxelů) V v reálném prostoru a ξ představuje odpovídající frekvenci ve Fourierově prostoru. \mathcal{F} označuje Fourierovu transformaci a \mathcal{F}^{-1} inverzní Fourierovu transformaci. Jednotlivá pole převedená do Fourierova prostoru $\hat{\sigma}^i$ a $\hat{\varepsilon}^i$ jsou označena stříškou a $\hat{\Gamma}^0$ představuje Greenův operátor určený pro referenční izotropní materiál s Lamého konstantami λ^0 a μ^0 podle rovnice 4.5. Označení δ_{ij} odpovídá Kroneckerova delta.

$$\hat{\Gamma}_{ijkh}^0(\xi) = \frac{1}{4\mu^0|\xi|^2}(\delta_{ki}\xi_h\xi_j + \delta_{hi}\xi_k\xi_j + \delta_{kj}\xi_h\xi_i + \delta_{hj}\xi_k\xi_i) - \frac{\lambda^0 + \mu^0}{\mu^0(\lambda^0 + 2\mu^0)} \frac{\xi_i\xi_j\xi_k\xi_h}{|\xi|^4} \quad (4.5)$$

Inicializace:

$$\begin{aligned}\varepsilon^0(x) &= E, \forall x \in V, \\ \sigma^0(x) &= D(x) : \varepsilon^0(x), \forall x \in V,\end{aligned}\tag{4.6}$$

Iterace $i + 1$

kde ε^i a σ^i jsou známé:

$$\begin{aligned}\hat{\sigma}^i &= \mathcal{F}(\sigma^i), \\ \hat{\varepsilon}^i &= \mathcal{F}(\varepsilon^i),\end{aligned}$$

Kontrola rozdílů napětí σ^i a σ^{i+1}

$$\begin{aligned}\hat{\varepsilon}^{i+1}(\xi) &= \hat{\varepsilon}^i - \hat{\Gamma}^0(\xi) : \hat{\sigma}^i(\xi), \forall \xi \neq 0 \text{ a } \hat{\varepsilon}^{i+1}(0) = E, \\ \varepsilon^{i+1} &= \mathcal{F}^{-1}(\hat{\varepsilon}^{i+1}), \\ \sigma^{i+1}(x) &= D(x) : \varepsilon^{i+1}(x), \forall x \in V\end{aligned}$$

Kontrola rozdílů napětí σ^i a σ^{i+1} probíhá podle rovnice 4.7, kde ϵ je výsledná chyba a n_x počet všech pixelů (voxelů).

$$\epsilon = \frac{\sqrt{\sum_{x=0}^{n_x} (\sigma^i(x) - \sigma^{i+1}(x))^2}}{n_x}\tag{4.7}$$

Iterační algoritmus je u konce pokud je chyba ϵ menší než zadaná tolerance.

Kapitola 5

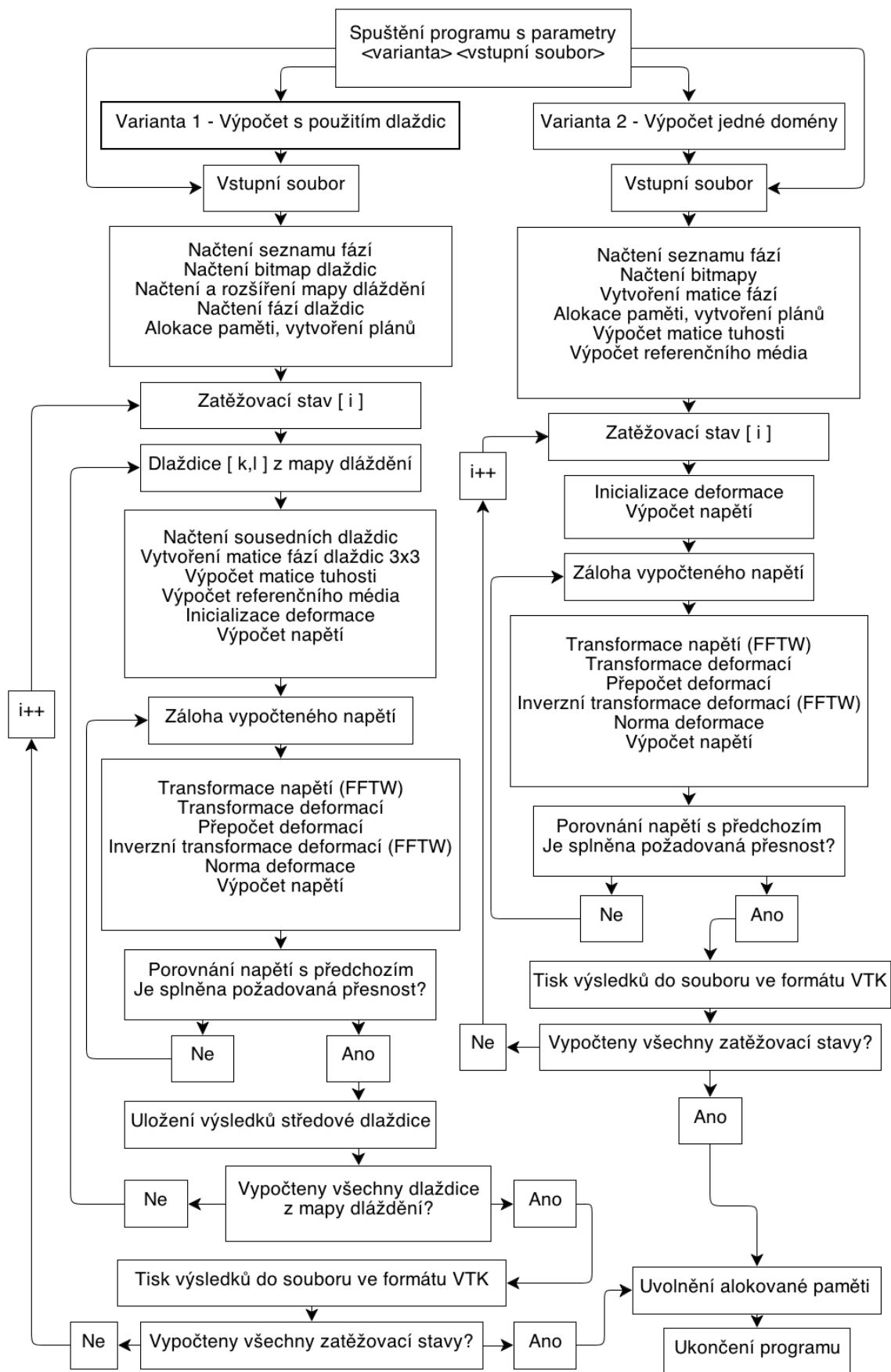
Program pro výpočet

V rámci této diplomové práce byl vytvořen program v programovacím jazyce C/C++ [8, 9, 12] sloužící pro výše popsané výpočty pomocí Wangových dlaždic a rozšířených množin dlaždic. Kód programu vychází z předlohy poskytnuté doc. Ing. V. Šmilauerem, Ph.D., jejímž původním autorem je Mgr. Ing. M. Wierer. Pro aplikaci na náš problém bylo nutné kód výrazně přepracovat a přidat nové potřebné funkce pro práci s dlaždicemi. Program využívá kromě standardních knihoven i několik uživatelských knihoven. Knihovnu pro práci s bitmapami v binárním formátu vytvořenou doc. Ing. J. Zemanem, Ph.D., knihovnu Ing. J. Nováka, Ph.D. pro výstup dat do souboru ve formátu VTK (Visualization Toolkit) [11] a především volně šiřitelnou knihovnu FFTW (Fastest Fourier Transform in the West) [6] pro výpočet rychlé Fourierovy transformace a její inverze, kterou společně vytvořili M. Frigo a S. G. Johnson z MIT (Massachusetts Institute of Technology). Původní předloha docenta Šmilauera pracovala s knihovnou FFTW verze 2.x, která již není dále vyvíjena a byla nahrazena novou verzí FFTW 3.x. Z důvodu ukončení podpory verze 2 byla v rámci tohoto programu využita verze 3, konkrétně FFTW 3.3.3. Bylo ovšem nutné přepracovat funkce využívající tuto knihovnu, protože verze FFTW3 není kompatibilní s FFTW2. Více o knihovně FFTW viz sekce 5.2.3. Zjednodušený princip algoritmu programu je zobrazen na obrázku 5.1.

Program obsahuje dvě varianty výpočtu, varianta 1 slouží k výpočtu pomocí Wangových dlaždic a využívá rozšířených Wangových množin pro rekonstrukci mikromechanického pole. Varianta 2 naopak provede výpočet mikromechanického pole na jediné vstupní bitmapě bez použití Wangových dlaždic.

Ač jsou všechny výpočty a výsledky prezentované v této práci prováděny na bitmapách, tedy v prostoru $2D$, byla snaha program navrhnout tak, aby bylo možné po provedení několika nezbytných úprav kódu provádět výpočty trojrozměrných vstupních dat.

Názvy proměnných a funkcí v programu byly úmyslně voleny v anglickém jazyce, aby netvořily české názvy jazykovou bariéru, pokud by v budoucnosti došlo k uveřejnění programu pro volné užití.



Obrázek 5.1: Diagram průběhu programu.

5.1 Proměnné

Při tvorbě programu byl kladen důraz na umožnění uživateli maximální variabilitu důležitých proměnných. Tyto proměnné je nutno zapsat do vstupního souboru v určeném pořadí a formátu (součástí přiloženého CD jsou i vzorové vstupní soubory pro obě varianty). Uživatel musí tedy do vstupního souboru varianty 1 (Obrázek 5.2) zadat následující proměnné:

- varianta výpočtu ve tvaru `Option_1`
- počet dlaždic množiny ve tvaru celého čísla na samostatném řádku
- názvy/cesty souborů jednotlivých dlaždic, každý soubor na samostatném řádku (binární formát bitmapy)
- název/cesta k souboru obsahující mapu dláždění na samostatném řádku (soubor v textovém formátu)
- počet fází pro načtení ve tvaru celého čísla na samostatném řádku
- název/cesta k souboru obsahující seznam fází, pro každou z fází je nutné zadat číslo fáze, Youngův modul pružnosti (E) a Poissonovo číslo (ν) a to ve tvaru `0 10.0 0.4` (na jednom řádku)
- počet zatěžovacích stavů ve tvaru celého čísla na samostatném řádku
- název/cesta k souboru obsahující seznam zatěžovacích stavů na samostatném řádku, pro každý zatěžovací stav je nutné zadat pořadové číslo a 6 reálných čísel představující požadované zatížení deformací, například: `0 1.0 0.0 0.0 0.0 0.0 0.0` (na jednom řádku)
- název výstupního VTK souboru na samostatném řádku (bez české diakritiky, mezer a přípony) např: `Vystup` (za název souboru bude přidáno slovo *load* a číslo zatěžovacího stavu, výsledný název včetně přípony bude tedy vypadat následovně: `Vystup_load1.vtk`)
- požadovanou přesnost výpočtu ve tvaru reálného čísla na samostatném řádku, například: `1.0e-4`
- maximální počet iterací ve tvaru celého čísla na samostatném řádku, například: `1000`
- jméno autora bez české diakritiky na samostatném řádku (bude zobrazeno ve výstupním souboru VTK)
- požadované označení tenzorů napětí ve výstupním souboru VTK

- požadované označení tenzorů deformací ve výstupním souboru VTK

```

1   Option_1
2   8
3   W08-2-2_010_007_tile_1.bmp
4   W08-2-2_010_007_tile_2.bmp
5   W08-2-2_010_007_tile_3.bmp
6   W08-2-2_010_007_tile_4.bmp
7   W08-2-2_010_007_tile_5.bmp
8   W08-2-2_010_007_tile_6.bmp
9   W08-2-2_010_007_tile_7.bmp
10  W08-2-2_010_007_tile_8.bmp
11  tiling_map.txt
12  2
13  phases.txt
14  1
15  load_cases.txt
16  Vystup_opt1
17  1.0e-4
18  1000
19  Zrubek Lukas
20  Stress_opt1
21  Strain_opt1

```

Obrázek 5.2: Příklad vstupního souboru pro variantu 1.

Vstupní soubor pro variantu 2 (Obrázek 5.3) se od varianty 1 liší jen velmi málo. Na prvním řádku vstupního souboru pro variantu 2 musí být text `Option_2`. Dále soubor neobsahuje narozdíl od varianty 1 řádek s počtem dlaždic, řádky se jmény souborů dlaždic a řádek se jménem souboru mapy dláždění. Tyto řádky jsou nahrazeny pouze jedním řádkem s názvem/cestou k souboru jedné vstupní bitmapy (binární formát bitmapy). Následující řádky vstupního souboru se již neliší od varianty 1.

```

1   Option_2
2   single_bitmap.bmp
3   2
4   phases.txt
5   1
6   load_cases.txt
7   Vystup_opt2
8   1.0e-4
9   1000
10  Zrubek Lukas
11  Stress_opt2
12  Strain_opt2

```

Obrázek 5.3: Příklad vstupního souboru pro variantu 2.

Pro každou variantu je tedy určen individuální vstupní soubor. Soubor se seznamem fází a soubor se seznamem zatěžovacích stavů může být společný.

5.2 Funkce programu

Po vytvoření všech potřebných vstupních souborů přistoupíme ke spuštění programu. Program spustíme z příkazové řádky zadáním názvu souboru programu a dvou parametrů definujících variantu výpočtu a název vstupního souboru. Například:

```
program.exe 1 vstupni_soubor.txt
```

S přihlédnutím k možnosti, že si uživatel program přejmenuje, mohou se nultý a druhý argument libovolně lišit od výše uvedeného příkladu. Naopak první argument musí být vždy číslice 1 pro variantu 1 a číslice 2 pro variantu 2. Podle tohoto argumentu program spustí odpovídající výpočet. V případě, že uživatel nezadá správný počet argumentů nebo zvolí jinou variantu než 1 a 2, program vypíše jednoduchou nápovědu v anglickém jazyce. Jako znamení konce výpočtu bylo přidáno systémové pípnutí po dokončení programu. Hlavní funkce programu `main`, stejně jako celý kód programu je přiložen v příloze A.

5.2.1 Varianta 1

Již při spouštění programu je nutné jako jeden z parametrů zadat číslo varianty 1 nebo 2. Zadáním č. 1 řekneme programu, že požadujeme výpočet s využitím dlaždic a rozšířených Wangových množin. Program zkontroluje zda vstupní soubor zadaný druhým parametrem je určen pro variantu 1 a pokud ano začne načítat potřebná data jako je počet dlaždic, názvy souborů dlaždic, počet fází a tak dále. Po načtení všech dat se spustí hlavní funkce pro výpočet varianty 1 `Option_1()`; . Tato funkce nejprve načte jednotlivé dlaždice a podle první dlaždice určí jejich rozměr (z definice Wangova dláždění je zaručeno, že dlaždice budou čtvercové a všechny stejně velké). Dále načte fáze jednotlivých dlaždic, vytvoří všechny potřebné proměnné a pole včetně plánů knihovny FFTW (bližší popis viz sekce 5.2.3). Následuje hlavní cyklus přes všechny zatěžovací stavy, který obsahuje cyklus přes všechny dlaždice z mapy dláždění. Každá dlaždice je rozšířena o 8 svých sousedních dlaždic (4 v hlavních směrech a 4 ve vedlejších směrech). Pro tyto 3x3 dlaždice jsou načteny příslušné fáze jednotlivých bodů (pixelů), a pro každý jednotlivý bod vypočtena matice tuhosti D (rovnice 4.1). Pomocí matic tuhosti D a tenzorů deformací ε příslušného zatěžovacího stavu, se podle rovnice 4.3 vypočte tenzor napětí σ , pro každý bod. Algoritmus pokračuje přeuložením vypočteného napětí do náhradního pole, pro pozdější kontrolu chyby. Nyní je spuštěn iterační algoritmus popsáný rovnicí 4.6, který je ukončen pokud je dosaženo požadované přesnosti. Vypočtené tenzory napětí σ a tenzory přetvoření ε jsou uloženy, pouze pro středovou dlaždici. Postup se opakuje pro každou dlaždici z mapy dláždění. Nakonec jsou vypočtené hodnoty zapsány do souboru ve formátu VTK. V případě dvou a více zatěžovacích stavů, pokračuje výpočet pro následující zatěžovací stav. Pokud

jsou vypočteny všechny zatěžovací stavy je výpočet u konce. Tímto způsobem byly získány výsledky pro rekonstruovaná mikromechanická pole prezentovaná v kapitole 6.

5.2.2 Varianta 2

Postup výpočtu varianty 2 je mnohem jednodušší než u varianty 1. Po kontrole vstupního souboru je načtena jediná bitmapa, její fáze, zatěžovací stavy a další vstupní parametry obsažené ve vstupním souboru. Dále pokračuje algoritmus stejným způsobem jako v případě varianty 1 s tím rozdílem, že kód obsahuje pouze cyklus přes všechny zatěžovací stavy. Po dokončení výpočtu všech zatěžovacích stavů je výpočet dokončen. Pomocí této varianty byly získány výsledky pro nerekonstruovaná mikromechanická pole prezentovaná v kapitole 6.

5.2.3 Knihovna FFTW

Jak již bylo několikrát zmíněno, program se neobejde bez knihovny FFTW neboli *Fastest Fourier Transform in the West* což lze volně přeložit jako "Nejrychlejší Fourierova transformace na západě". Knihovna je dílem autorů M. Friga a S. G. Johnsona z MIT, kteří ji poprvé představili v březnu roku 1997 jako verzi 1.0. Po několika dílčích verzích byla v září roku 1998 vydána verze 2.0 a v dubnu roku 2003 verze 3.0, která je stále rozvíjena až do dnešní aktuální verze 3.3.3 používané tímto programem. Knihovna FFTW slouží k výpočtu diskrétní Fourierovy transformace (DFT) a její inverze pomocí efektivního algoritmu rychlé Fourierovy transformace (FFT) [4] za využití znalostí hardwaru počítače, na kterém je transformace spuštěna. FFTW nepoužívá pevný algoritmus, ale přizpůsobí algoritmus aktuálnímu hardwaru tak, aby bylo dosaženo co největšího výkonu. Tento proces probíhá ve dvou krocích. Prvním krokem je vytvoření takzvaného plánu, který zjistí jak nejrychleji spočítat transformaci na aktuálním počítači. Druhým krokem je spuštění plánu pro příslušná vstupní data. Počet spuštění plánu není nijak omezen. FFTW podporuje transformaci dat o libovolné délce, dimenzi a násobnosti. Funkce pro vytváření plánu jsou rozděleny na 3 vstupní prostředí: Basic (základní), Advanced (pokročilé) a Guru (velmi pokročilé). Dále se jednotlivé funkce rozdělují podle požadované dimenze ($1D$, $2D$, $3D$, nD) a typu transformace. Typ transformace záleží zda jsou vstupní data komplexní (c) nebo reálná (r) a v jakém formátu požadujeme data výstupní.

V tomto programu je využito pokročilého vstupního prostředí a transformace reálných dat na komplexní ($r2c$) a zpět ($c2r$). Funkce jsou zobrazeny na obrázku 5.4. Proměnná `rank` představuje počet dimenzí vstupního pole, v našem případě 3. Ukazatel `*n` odkazuje na pole o počtu prvků `rank` a obsahuje rozměry jednotlivých dimenzí, v našem případě `{X, Y, Z}`. `Howmany` je počet transformací, které chceme provést. Protože jsou naše data složena vždy ze 6 složek (tensor napětí či přetvoření ve formátu

dle Voighta), zadáváme `howmany = 6`. Ukazatele `*in` a `*out` jsou pole vstupních respektive výstupních dat. Pokud každý ukazatel ukazuje na jiné datové pole v paměti, jedná se o tzv. *out-of-place* transformaci (mimo místo). Pokud se ukazatele odkazují na stejné pole jedná se o *in-place* transformaci (na místě), které je využito i v tomto programu. *In-place* transformace sebou přináší výhodu v úspoře alokované paměti, avšak ne zcela poloviční. Pro transformaci na místě je nutné alokovat takové pole, které by bylo schopné pojmout data reálná nebo zhruba polovinu dat komplexních (při transformaci je využito symetrie komplexních dat, proto stačí uložit pouze přibližnou polovinu). Pro $1D$ *in-place* transformaci je nutné, aby pole o n prvcích bylo rozměru $2*(n/2+1)$ (dělení se zaokrouhuje směrem dolů, na celé číslo), pro nD transformaci je rozšířena pouze poslední dimenze. V našem případě $3D$ transformace je nutné alokovat pole o velikosti $X*Y*(2*(Z/2+1))*6$. Ukazatele `*inembed` a `*onembed` odkazují na pole o velikosti `rank`, které obsahuje počet prvků v každé dimenzi, které chceme transformovat. V našem případě chceme provést transformaci všech prvků, proto zadáváme hodnotu `NULL`. Proměnné `istride`, `idist`, `ostride` a `odist` říkají funkci, jak jsou data v paměti uspořádána. `Stride` udává vzdálenost prvků jedné transformace v paměti (`6stride = 6`) a `dist` vzdálenost prvního prvku prvního pole a prvního prvku pole následujícího (`dist = 1`).

```

1  fftw_plan fftw_plan_many_dft_r2c( int rank, const int *n, int howmany,
2                                  double *in, const int *inembed,
3                                  int istride, int idist,
4                                  fftw_complex *out, const int *onembed,
5                                  int ostride, int odist,
6                                  unsigned flags );
7  fftw_plan fftw_plan_many_dft_c2r( int rank, const int *n, int howmany,
8                                  fftw_complex *in, const int *inembed,
9                                  int istride, int idist,
10                                 double *out, const int *onembed,
11                                 int ostride, int odist,
12                                 unsigned flags );

```

Obrázek 5.4: Použité funkce pokročilého prostřední knihovny FFTW.

Knihovna FFTW poskytuje i funkce pro alokaci polí v potřebném formátu (viz obrázek 5.5), která jsou ještě dále přizpůsobena pro potřeby hardwaru počítače. Uživatel má možnost zvolit tři typy přesnosti základní proměnné: `float`, `double` a `long double`. V programu jsem použil typ `double`. Dále je nutné rozlišovat komplexní čísla, pro která je připraven uživatelský formát `fftw_complex` o velikosti dvou proměnných `double` a reálná čísla, pro která slouží standardní typ proměnné `double`. Po dokončení výpočtu je třeba alokovanou paměť dealokovat, k čemuž slouží funkce zobrazené na obrázku (viz obrázek 5.6).

```

1 double *fftw_alloc_real(size_t n);
2 fftw_complex *fftw_alloc_complex(size_t n);

```

Obrázek 5.5: Funkce knihovny FFTW pro alokaci paměti.

```

1 void fftw_free(void *p);
2 void fftw_destroy_plan(fftw_plan plan);

```

Obrázek 5.6: Funkce knihovny FFTW pro dealokaci paměti.

Jelikož není knihovna FFTW primárně určena pro použití v operačním systému Windows, je nutné si pro použití knihovny stáhnout z webových stránek <http://fftw.org/> předpřipravenou dynamickou knihovnu a hlavičkový soubor, pro příslušnou přesnost základní proměnné. Program se zkompile s hlavičkovým souborem (je nutné věnovat pozornost typu překladače) a při spouštění programu musí být dynamická knihovna ve stejné složce jako program.

5.3 Databáze

Při rekonstrukci opravdu velké rovinné domény, která obsahuje všechny možné kombinace dlaždic $n \times n$, pomocí metody rozšířených množin Wangových dlaždic, je výhodné uspořit čas tím, že použijeme již vyhodnocená mikromechanická pole středové dlaždice. Tato mikromechanická pole je tedy nutno uschovat pro pozdější použití, tzn. vytvořit jejich databázi. Každé mikromechanické pole je uloženo s číslem středové dlaždice a informací jaká byla kombinace dlaždic sousedních, aby bylo možné jej následně správně použít. Jelikož by databáze obsahovala velké množství takovýchto mikromechanických polí, bylo by nutné vědět kde přesně jaké mikromechanické pole leží, aby se při rekonstrukci domény neztrácel čas prohledáváním celé databáze. Tohoto by bylo možné dosáhnout pokud bychom z čísla středové dlaždice a číslic dlaždic sousedních vytvořili jedinečný kód, pomocí kterého by bylo možné snadno najít požadované pole v databázi. Nicméně v mnoha případech rekonstrukce rovinné domény nebude zapotřebí všech možných kombinací. Jako v případě výpočtů prezentovaných v této diplomové práci. Z tohoto důvodu nepracuje mnou navržený program s databází mikromechanických polí, ale využívá výhodnější metodu, kdy jsou spočteny jen ty kombinace, které pro rekonstrukci mikromechanického pole potřebujeme.

Dalším faktorem ovlivňujícím použití databáze může být velikost potřebné paměti. Jak názorně ukazuje tabulka 3.8 je i pro nejmenší množinu dlaždic $W8/2 - 2$ počet možných kombinací uspořádání dlaždic do tvaru 3×3 , roven hodnotě přesahující 32, 000

kombinací. Pokud použijeme trochu základní matematiky, vědomostí o velikosti jednotlivých proměnných programovacích jazyků C/C++ a předpokladu dlaždice o hraně 62 pixelů (odpovídá dlaždicím z množiny dlaždic na obrázku 6.1(i)), získáme přibližnou představu o potřebné velikosti paměti RAM pro uložení výsledků mikromechanických polí středových dlaždic se všemi možnými kombinacemi dlaždic okolních (kompletní rozšířená Wangova množina). Na většině počítačů je velikost proměnné `double` rovna 8B. Pokud pro každý pixel potřebujeme uložit 6 hodnot typu `double`, potřebujeme pro každý pixel paměť o velikosti 48B. Při rozměru dlaždice 62x62 pixelů a počtu 32,000 kombinací je výsledná potřeba alokované paměti RAM rovna přibližně 5.6GB.

5.4 Budoucnost a další vhodné úpravy

Jsem si vědom, že i přes veškerou snahu může mnou vytvořený program obsahovat chyby jak logické, tak programové. Zkušenější uživatel jazyka C/C++ by jistě v mnoha případech navrhl lepší a efektivnější řešení, ale s jazykem C/C++ jsem se poprvé setkal před zhruba rokem a půl, proto prosím omluvte mé případné nedostatky.

Pokud bude mnou vytvořený program pro někoho přínosem a bude poptávka po jeho rozšíření, mám několik dalších nápadů jak program vhodně upravit, ale bohužel nebyl prostor je realizovat. Pokud bych měl uvést konkrétní příklady, jednalo by se zejména o použití knihovny pro práci s bitmapami s 8bitovou barevnou hloubkou (stupně šedi), čímž by bylo umožněno pracovat s 256 různými fázemi. Další možností je načítání vstupních dat z textového souboru, čímž by bylo umožněno použít libovolný počet fází. Vhodnou úpravou bylo jistě také uzavření celého programu do třídy.

Kapitola 6

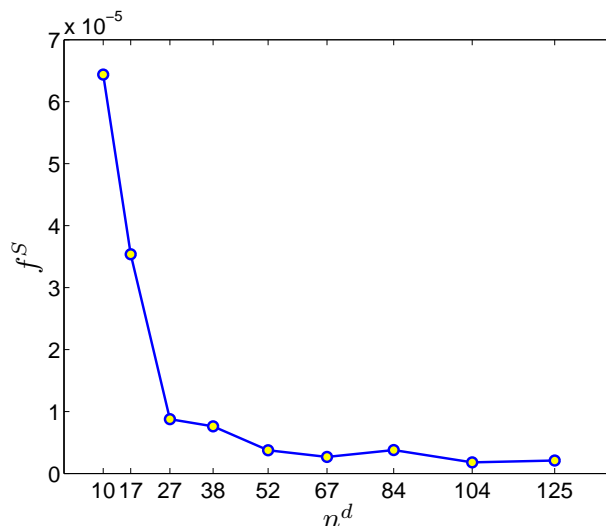
Výsledky

Pro účely ověření metody rozšířených Wangových množin dlaždic byly, za použití výpočtů prezentovaných v kapitole 4 a vytvořeného programu popsaného v kapitole 5, získány výsledky shrnuté v této kapitole.

Abychom mohli vůbec provést potřebné výpočty, bylo nutné zoptimalizovat několik standardních množin Wangových dlaždic. Jedná se o minimální množiny s označením $W8/2-2-n^d$, tedy o počtu $n^t = 8$ dlaždic a hranových informací $n_i^c = 2$ dlaždic ve svislém nebo vodorovném směru. To, čím se od sebe jednotlivé množiny liší, je počet disků n^d , které obsahují. Se zvyšujícím se počtem disků se zvětšují i jednotlivé dlaždice v množině a prodlužuje se výpočet, který v případě větších dlaždic trval až několik týdnů. Bylo zoptimalizováno celkem 9 množin dlaždic (viz obrázek 6.1).

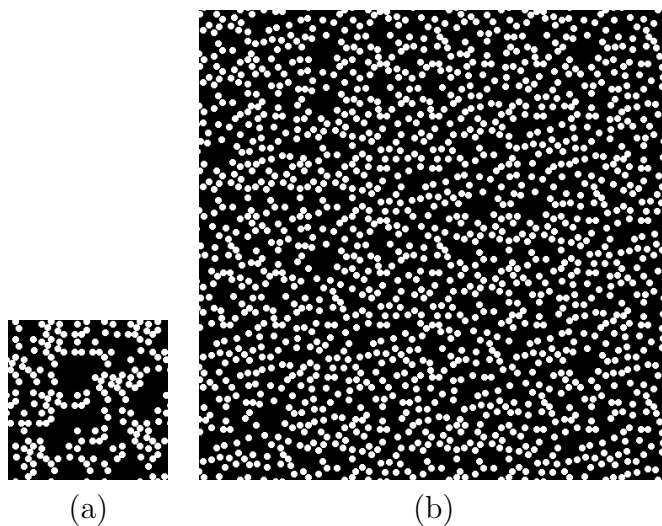
	Množina	Jednotlivé dlaždice množiny
(a)	W8/2-2-010	
(b)	W8/2-2-017	
(c)	W8/2-2-027	
(d)	W8/2-2-038	
(e)	W8/2-2-052	
(f)	W8/2-2-067	
(g)	W8/2-2-084	
(h)	W8/2-2-104	
(i)	W8/2-2-125	

Obrázek 6.1: Označení a jednotlivé dlaždice všech množin použitých k výpočtům.



Obrázek 6.2: Graf závislosti chyby na geometrii f^S (rovnice 3.6) na počtu disků n^d obsažených v množině.

Chyba na geometrii jednotlivých dlaždic (počítaná podle vzorce 3.6 je zobrazena na obrázku 6.2). Jak je možné z grafu vidět, se zvětšujícím se počtem disků n^d obsažených v množině se snižuje velikost chyby na geometrii. Ovšem pro množiny obsahující 84 a 125 disků je chyba větší než pro množinu s nejbližším nižším počtem disků. Tento jev může být způsoben vlivem stochastické optimalizace nebo jsme se již dostali do bodu, kdy začne velikost chyby na geometrii nepatrně oscilovat kolem hodnoty $2.5e^{-6}$.



Obrázek 6.3: (a) Zrekonstruovaná mikrostruktura množinou W8/2-2-010, (b) zrekonstruovaná mikrostruktura množinou W8/2-2-125.

Protože jsou všechny použité množiny vytvořeny tak, aby rozložení hranových informací na jednotlivých dlaždicích bylo stejné pro všechny množiny, můžeme při rekonstrukci mikrostruktur použít jednu validní mapu dláždění (viz tabulka 6.1). Pomocí této mapy a CSHD algoritmu byly zrekonstruovány mikrostruktury na obrázku 6.3.

Všechny vytvořené mikrostruktury jsou zobrazeny v příloze B.

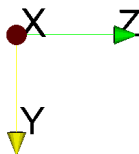
1	0	5	2	3	7	2	5	3
1	7	5	2	2	4	6	7	4
5	4	1	6	6	1	0	4	7
1	1	1	6	0	5	5	3	6
3	7	5	2	3	1	1	6	0
2	2	3	6	6	1	7	4	7
0	4	6	0	2	3	0	5	4
7	5	4	7	4	0	3	7	3
0	3	1	6	1	1	6	0	4

Tabulka 6.1: Validní mapa dláždění použitá pro rekonstrukce mikrostruktur.

Aby bylo možné zrekonstruovaná mikromechanická pole s něčím porovnat a určit tak velikost chyby vzniklou použitím rozšířených množin Wangových dlaždic, byla pomocí 2. varianty vytvořeného programu vypočítána mikromechanická pole vytvořených mikrostruktur (obrázky B.1) vždy jako jeden celek.

Pro názornost jsou v této kapitole prezentovány výsledky množiny s nejmenším počtem disků W8/2-2-010 a množiny s největším počtem disků W8/2-2-125. Všechna vypočtená mikromechanická pole jsou zobrazena v příloze B.

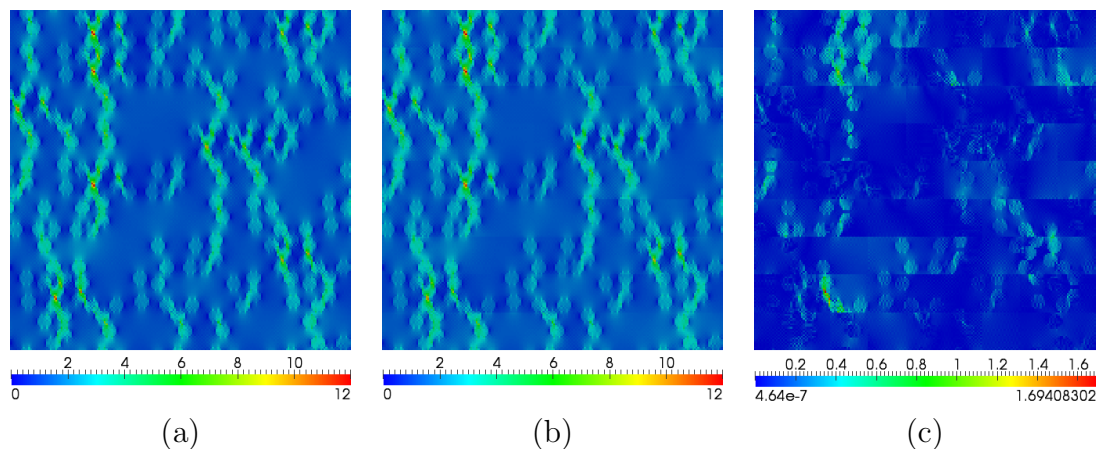
Jak již bylo řečeno v kapitole 4, bylo z programovacích důvodů nutné při 2D výpočtech zvolit rozměr x roven 1, a proto se pohybujeme v prostoru $y - z$. Dalším faktem vhodným za zmínku, jsou kladné směry os y a z (viz obrázek 6.4). Zatímco v běžné praxi se ve 2D prostoru setkáme s kladnými směry os vycházejících z levého spodního rohu a směřující nahoru a vpravo, v tomto případě vycházejí kladné směry z levého horního rohu a směřují dolů a vpravo.



Obrázek 6.4: Směry.

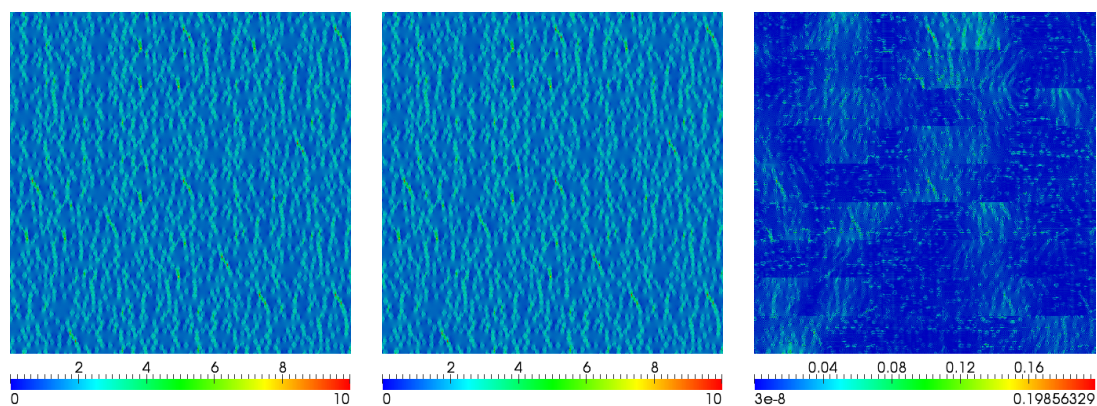
A nyní již k výsledkům: obrázek 6.5a zobrazuje mikromechanické pole vypočtené na mikrostruktuře jako celku. Konkrétně se jedná o složku napětí σ_y pro mikrostrukturu vytvořenou množinou W8/2-2-010 obsahující nejmenší počet disků ze všech použitých množin, zatíženou jednotkovou deformací ve směru y . Obrázek 6.5b zobrazuje mikromechanické pole zrekonstruované pomocí rozšířené množiny Wangových dlaždic. Opět se jedná o napětí σ_y . Jak si lze na tomto obrázku všimnout, jsou zřetelně vidět nespojitosti jednotlivých dlaždic rozšířené množiny. Ještě lépe jsou nespojitosti mezi dlaždicemi

vidět na třetím obrázku 6.5c, který byl získán jako absolutní hodnota rozdílu zrekonstruovaného mikromechanického pole a mikromechanického pole spočteného v celku (obrázek 6.5a mínus obrázek 6.5b). Vysoká je také hodnota maximální chyby 1.694.



Obrázek 6.5: Napětí σ_y pro množinu W8/2-2-010 zatížené jednotkovou deformací ve směru y , (a) mikromechanické pole vypočtené v celku, (b) mikromechanické pole zrekonstruované pomocí rozšířené množiny Wangových dlaždic, (c) odečtená mikromechanická pole $a - b$.

Obrázky 6.6a,b zobrazují opět průběh napětí σ_y , ovšem tentokrát pro množinu W8/2-2-125, s největším počtem disků ze všech použitých množin dlaždic. Obrázek 6.6a odpovídá mikromechanickému poli spočtenému jako celek a obrázek 6.6b mikromechanickému poli zrekonstruovanému pomocí rozšířené množiny Wangových dlaždic. Při jejich porovnání pouhým okem se jeví jako identická a ani není možné na obrázku (b) pozorovat nějaké nespojitosti mezi dlaždicemi. Po vytvoření absolutní hodnoty rozdílu obrázku (a) a obrázku (b) je vidět, že se od sebe mikromechanická pole přece jen nepatrně liší, ovšem maximální velikost chyby získaná jako rozdíl dvou sobě odpovídajících pixelů, je pouze 0.198.

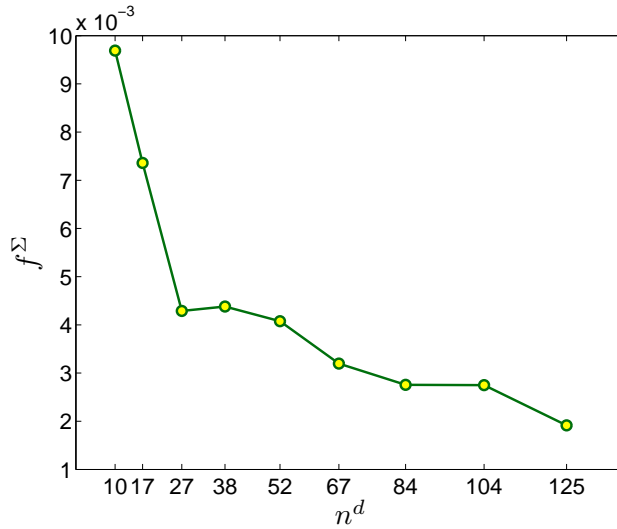


Obrázek 6.6: Napětí σ_y pro množinu W8/2-2-114 zatížené jednotkovou deformací ve směru y , (a) mikromechanické pole vypočtené v celku, (b) mikromechanické pole zrekonstruované pomocí rozšířené množiny Wangových dlaždic, (c) odečtená mikromechanická pole $a - b$.

Lze tedy předpokládat, že se zvětšujícím se počtem disků obsažených v množině, a tedy i zvětšujícími se dlaždicemi množiny, se snižuje chyba zrekonstruovaného mikromechanického pole. Tuto myšlenku je možné ověřit pomocí výpočtu průměrné chyby pro konkrétní množinu, podle rovnic 6.1 a 6.2 z článku [15], kde $\Sigma_{ij}^*(k)$ odpovídá složce napětí ij , k -tého pixelu z množiny všech pixelů $\mathbb{K}^{\mathcal{O}_T}$ mikromechanického pole vypočteného jako celek a $\tilde{\Sigma}_{ij}^*(k)$ odpovídá složce napětí ij , k -tého pixelu z množiny všech pixelů $\mathbb{K}^{\mathcal{O}_T}$ zrekonstruovaného mikromechanického pole.

$$f_{ij}^{\Sigma}(k) = \frac{|\Sigma_{ij}^*(k) - \tilde{\Sigma}_{ij}^*(k)|}{\max_{m \in \mathbb{K}^{\mathcal{O}_T}} \Sigma_{ij}^*(m) - \min_{m \in \mathbb{K}^{\mathcal{O}_T}} \Sigma_{ij}^*(m)}, k \in \mathbb{K}^{\mathcal{O}_T}; i, j \in \{1, 2, 3\}, \quad (6.1)$$

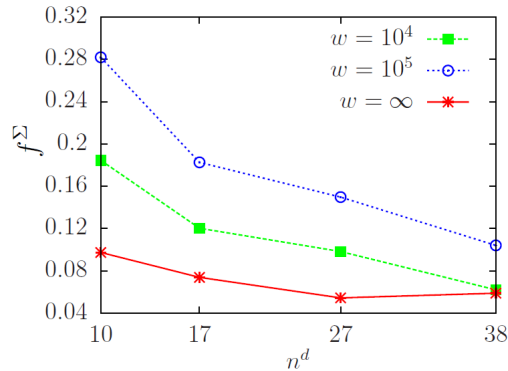
$$f^{\Sigma} = \frac{1}{3} \frac{1}{3} \frac{1}{\mathcal{O}_T} \sum_{i,j=1}^3 \sum_{k \in \mathbb{K}^{\mathcal{O}_T}} |f_{ij}^{\Sigma}(k)| \quad (6.2)$$



Obrázek 6.7: Graf závislosti průměrné chyby f^{Σ} na počtu disků n^d obsažených v množině.

Vypočtením chyb pro jednotlivé množiny dlaždic, získáme graf (obrázek 6.7) závislosti průměrné chyby f^{Σ} na počtu disků n^d v množině. Z tohoto grafu plyne, že průměrná chyba f^{Σ} se snižuje se zvyšujícím se počtem disků n^d , ovšem stejně jako u grafu (obrázek 6.2) závislosti chyby geometrie na počtu disků n^d , se i zde vyskytují hodnoty neodpovídající předpokládanému uspořádání. Konkrétně velikost průměrné chyby pro množinu obsahující 38 disků (W8/2-2-038) je větší než velikost průměrné chyby pro množinu se 22 disky (W8/2-2/027). Pokud si grafem proložíme spojnicí trendu zjistíme, že chyba pro množinu s 22 disky vyšla nadprůměrně menší a z trendu tedy vybočuje tato množina W8/2-2/027 jako průměrně lepší než množiny ostatní. Naopak velikost chyby pro množinu se 104 disky vyšla průměrně větší oproti spojnicí trendu. Nicméně postupný trend snižování velikosti průměrné chyby v závislosti na

počtu disků v množině, je z grafu patrný.



Obrázek 6.8: Graf průměrných chyb.

Abychom ověřili, že pomocí metody rozšířených množin Wangových dlaždic lze dosáhnout lepších výsledků než při použití standardních množin Wangových dlaždic, potřebujeme hodnoty pro porovnání. Použijeme proto výsledky prezentované v článku [15] na obrázku 12, kde graf zachycuje velikost průměrné chyby v závislosti na počtu disků v množině, při použití standardních Wangových množin. Získané průměrné chyby (modrá a zelená křivka) zobrazené v grafu (obrázek 6.8), jsou jasně větší než chyby vypočtené pomocí rozšířených množin Wangových dlaždic. Lze tedy říci, že mikromechanická pole vytvořená pomocí rozšířených množin Wangových dlaždic jsou zatížena menší průměrnou chybou než v případě standardních Wangových množin.

Kapitola 7

Závěr

Tato diplomová práce byla od počátku rozdělena na dvě části. Úkolem jedné části bylo ověřit použití rozšířených množin Wangových dlaždic, vliv počtu disků obsažených v množinu na relativní průměrnou chybu rekonstruovaných mikromechanických polí a také porovnání výsledků rozšířených množin Wangových dlaždic s výsledky standardních množin Wangových dlaždic. Úkolem druhé části bylo vytvořit program, pomocí něhož vypočítáme a získáme všechna potřebná data pro první část.

Prvotním cílem bylo spojit a zautomatizovat jednotlivé dílčí kusy kódů vytvořených v průběhu předmětu Projekt 4, za účelem vytvoření potřebného programu. Po získání předlohy programu od doc. Ing. V. Šmilauera, Ph.D. bylo od nápadu slepovat jednotlivé kusy kódů upuštěno a byl stanoven cíl nový, upravit stávající program docenta Šmilauera pro potřeby výpočtů mikromechanických polí. Jak bylo ale zjištěno, program pracoval s již nepodporovanou verzí knihovny FFTW 2. Bylo tedy nutné nastudovat použití knihovny FFTW 3 a upravit stávající kód programu. Následovalo naprogramování všech potřebných funkcí pro práci s dlaždicemi a jejich ověření. Výpočty prováděné programem jsou popsány v kapitole 4. Výsledný program a jeho použití je popsáno v kapitole 5 a v příloze A je zobrazen kód programu samotného.

S využitím hotového programu bylo vypočítáno velké množství výsledků, které byly vyhodnoceny a jsou prezentovány v kapitole 6. Ukázalo se, že se zvyšujícím se počtem disků obsažených v množině, se snižuje i velikost průměrné chyby (viz obrázek 6.7) a tyto chyby jsou menší než pro mikromechanická pole zrekonstruovaná pomocí standardních Wangových množin (viz obrázek 6.8).

V budoucnu by bylo vhodné ověřit zda se bude průměrná chyba i nadále snižovat s rostoucím počtem disků obsažených v množině, nebo zda začne velikost chyby oscilovat. Další zkoumání by si zasloužil i princip rozšiřování zahrnutých dlaždic na více než jednu vrstvu a samozřejmě samotný program by bylo vhodné vylepšit či dále rozšířit.

Literatura

- [1] A. Benssousan, J. Lions, and G. Papanicoulau. *Asymptotic Analysis for Periodic Structures*. North-Holland, Amsterdam, 1978.
- [2] M. Cohen, J. Shade, S. Hiller, and O. Deussen. Wang tiles for image and texture generation. *ACM Transactions on Graphics*, 22(3):287–294, 2003. ISSN 0730-0301.
- [3] K. Culik. An aperiodic set of 13 Wang tiles. *Discrete Mathematics*, 160:245–251, 1996.
- [4] P. Duhamel and M. Vetterli. Fast fourier transforms: a tutorial review and a state of the art. *Signal Process.*, 19(4):259–299, Apr. 1990.
- [5] W. E and B. Engquist. Multiscale modeling and computation. *Notices of the American Mathematical Society*, 2003. 50(9):1062–1070.
- [6] M. Frigo and S. G. Johnson. Fastest fourier transform in the west. <http://fftw.org/>, 2012. [Online].
- [7] F. Fritzen. *Microstructural Modeling and Computational Homogenization of the Physically Linear and Nonlinear Constitutive Behavior of Micro-Heterogeneous Materials*. KIT Scientific Publishing, 2012.
- [8] P. Herout. *Učebnice jazyka C*. Kopp, 2009.
- [9] J. Kent. *C++ bez předchozích znalostí*. Computer Press, 2009.
- [10] S. Kirkpatrick, C. J. Gelatt, and M. P. Vecchi. Optimization by simulated annealing. *Science*, 220:671–680, 1983. ISSN 0036-8075.
- [11] Kitware. Visualization toolkit. <http://www.vtk.org/>, 2012. [Online].
- [12] J. Liberty and B. L. Jones. *Naučte se C++ za 21 dní*. Computer Press, 2007.
- [13] H. Moulinec and P. Suquet. A numerical method for computing the overall response of nonlinear composites with complex microstructure. *Computer Methods in Applied Mechanics and Engineering*, 157(1-2):69 – 94, 1998.
- [14] J. Novák, A. Kučerová, and J. Zeman. Compressing random microstructures via stochastic wang tilings. *Physical Review E*.
- [15] J. Novák, A. Kučerová, and J. Zeman. Microstructural enrichment functions based on stochastic wang tilings. *Accepted for publication - Modelling and Simulation in Materials Science and Engineering*, 2013. e-print: arXiv:1110.4183.

- [16] J. Černý. Thermodynamical approach to the traveling salesman problem: An efficient simulation algorithm. *Journal of Optimization Theory and Applications*, 45:41–51, 1985.
- [17] J. Vorel and M. Šejnoha. Evaluation of homogenized thermal conductivities of imperfect carbon-carbon textile composites using the mori-tanaka method. *Structural Engineering and Mechanics*, 33(4):429–446, 2009.
- [18] H. Wang. Proving theorems by pattern recognition–II. *Bell Systems Technical Journal*, 40(2):1–41, 1961. ISSN 0005-8580.
- [19] Wikipedia. Wang tile. http://en.wikipedia.org/wiki/Wang_tile, 2012. [Online].
- [20] J. Zeman. Analysis of mechanical properties of fiber-reinforced composites with random microstructure. Master’s thesis, Czech Technical University in Prague, 2000.
- [21] J. Zeman and M. Šejnoha. From random microstructures to representative volume elements. *Modelling and Simulation in Materials Science and Engineering*, 15(4):S325–S335, 2007. 2007 Highlight paper.

Příloha A

Kód programu v jazyce C/C++

```
1  /* =====
2
3     name:          main.cpp
4     description:
5     author(s):     Martin Wierer, Jan Zeman, Vit Smilauer, Lukas Zrubek
6     place of birth: Czech Technical University in Prague
7     last edit:     12/2012
8     language:      C, C++
9
10                    This program is distributed in the hope that it will be useful,
11                    but WITHOUT ANY WARRANTY
12 ----- */
13
14 /* =====
15     libraries
16 ----- */
17 #include <stdio.h>
18 #include <stdlib.h>
19 #include <string.h>
20 #include <math.h>
21
22 #include "fft3.h"
23 #include "bmp.h"
24 #include "postWangTilesVtk.h"
25 #include "primaryFunctions.h"
26
27 /* =====
28     global variables
29 ----- */
30 char _INPUT_FILE_[ 100 ]; // name of input file
31 char _OUTPUT_FILE_[ 100 ]; // name of output VTK file
32 char _TILING_MAP_FILENAME_ [ 100 ]; // name of file containing tiling map
33 char _ORIGINAL_[ 100 ]; // name of 'original' file
34 char _CREATOR_[ 100 ]; // name of program user
35 char Stress_name[ 100 ]; // name of stress tensors in VTK output file
36 char Strain_name[ 100 ]; // name of strain tensors in VTK output file
37 char _Author_name_[ 100 ]; // name of program user
38 char **_TILE_NAMES_; // array of tile file names
39
40 int X = 1; // for 2D computation make this value 1
41 int Y; // Y
42 int Z; // Z
```

```

43  int _NO_TILES_; // number of tiles in set
44  int tWidth; // width of tile
45  int tHeight; // height of tile
46  int map_rows = 1; // rows of tiling map
47  int map_columns = 1; // columns of tiling map
48  int mtrx[ 3 ][ 3 ]; // 3x3 matrix cut from tiling map
49  int N_loads; // number of load cases
50  int ITERMAX; // iterations limit
51  int iter_num; // number of current iteration
52  int *Microstructure; // array to store phase data (whole reconstructed domain)
53  int **M; // matrix of phases
54  int **tile_map; // tiling map matrix
55  int ***TilePhases; // matrix of phases of each tile
56
57  double ii; //reference medium
58  double scale; // X*Y*Z
59  double E0[ 6 ]; // e11,e22,e33,e23,e13,e12
60  double tolerance; // tolerance
61  double periodx, periody, periodz;
62  double error; // = S_prev - S
63  double *S; // S[ X ][ Y ][ 2*( Z/2+1 )][ 6 ]; = sigma (in place transformation)
64  double *S_prev; // stresses from previous iteration
65  double *E; // E[ X ][ Y ][ 2*( Z/2+1 )][ 6 ]; = epsilon (in place transformation)
66  double **Loads; // matrix of load cases ( [ i ][ e11][e22][e33][e23][e13][e12] )
67  double **PhaseMatrix; // list of all used phases [ i ][ 0 ] = E, [ i ][ 1 ] = NY )
68  double **Stress_tensors; // array to store computed data - stress
69  double **Strain_tensors; // array to store computed data - strains
70  double ****D; //stiffness matrix with 21 independent anisotr. elements
71  fftw_plan p_S, p_E, pinv_E; // FFTW plans
72
73  /* =====
74  function to return position of element in row-major order array
75  i0, i1, i2, i3 = S[ i0 ][ i1 ][ i2 ][ i3 ]
76  ----- */
77  int get_index( int i0, int i1, int i2, int i3 ) {
78      int n1=Y, n2=2*( Z/2+1 ), n3=6; // n0=X not needed
79      return ( i3 + n3*( i2+n2*( i1+n1*i0 ) ));
80  }
81
82  /* =====
83  function to return position of element in row-major order array
84  i, j, k = S[ i ][ j ][ k ]
85  ----- */
86  int get_ijk( int i, int j, int k ) {
87      int n1=map_rows*tHeight, n2=map_columns*tWidth; // n0=X not needed
88      return ( k+n2*( j+n1*i ) );
89  }
90
91  /* =====
92  function to extend Tile map ( create periodic layer around )
93  ----- */
94  void extendTileMap() {
95      tile_map[ 0 ][ 0 ] = tile_map[ map_rows ][ map_columns ];
96      tile_map[ 0 ][ map_columns+1 ] = tile_map[ map_rows ][ 1 ];
97      tile_map[ map_rows+1 ][ 0 ] = tile_map[ 1 ][ map_columns ];
98      tile_map[ map_rows+1 ][ map_columns+1 ] = tile_map[ 1 ][ 1 ];
99
100     for( int i=1; i<( map_columns+1 ); i++ ) {

```



```

101     tile_map[ 0 ][ i ] = tile_map[ map_rows ][ i ];
102     tile_map[ map_rows+1 ][ i ] = tile_map[ 1 ][ i ];
103 }
104 for( int i=1; i<( map_rows+1 ); i++ ) {
105     tile_map[ i ][ 0 ] = tile_map[ i ][ map_columns ];
106     tile_map[ i ][ map_columns+1 ] = tile_map[ i ][ 1 ];
107 }
108 }
109
110 /* =====
111     function to copy 3to3 matrix from Tile map
112     ----- */
113 void cut3to3Matrix( int i, int j ) {
114     mtrx[ 0 ][ 0 ] = tile_map[ i-1 ][ j-1 ];
115     mtrx[ 0 ][ 1 ] = tile_map[ i-1 ][ j ];
116     mtrx[ 0 ][ 2 ] = tile_map[ i-1 ][ j+1 ];
117     mtrx[ 1 ][ 0 ] = tile_map[ i ][ j-1 ];
118     mtrx[ 1 ][ 1 ] = tile_map[ i ][ j ];
119     mtrx[ 1 ][ 2 ] = tile_map[ i ][ j+1 ];
120     mtrx[ 2 ][ 0 ] = tile_map[ i+1 ][ j-1 ];
121     mtrx[ 2 ][ 1 ] = tile_map[ i+1 ][ j ];
122     mtrx[ 2 ][ 2 ] = tile_map[ i+1 ][ j+1 ];
123 }
124
125 /* =====
126     function to create matrix of phases
127     ----- */
128 void copyPhasestoM() {
129     for( int i=0; i<3; i++ ) {
130         for( int j=0; j<3; j++ ) {
131             for( int k=i*tHeight; k<(i+1)*tHeight; k++ ) {
132                 for( int l=j*tWidth; l<(j+1)*tWidth; l++ ) {
133                     M[ k ][ l ] = TilePhases[mtrx[ i ][ j ]][ k-(i*tHeight) ][ l-(j*tWidth) ];
134                 }
135             }
136         }
137     }
138 }
139
140 /* =====
141     function to compute stiffness matrix of each pixel/value
142     ----- */
143 void computeStiffnessMatrix() {
144     double e; // Young's modulus
145     double ny; // Poisson's ratio
146     double constant;
147
148     for( int x=0; x<X; x++ ) {
149         for( int y=0; y<Y; y++ ) {
150             for( int z=0; z<Z; z++ ) {
151                 e = PhaseMatrix[ M[ y ][ z ] ][ 0 ];
152                 ny = PhaseMatrix[ M[ y ][ z ] ][ 1 ];
153                 constant = e/(( 1+ny )*( 1-2*ny ));
154
155                 D[ x ][ y ][ z ][ 0 ] = D[ x ][ y ][ z ][ 6 ] = \
156                 D[ x ][ y ][ z ][ 11 ] = constant*( 1-ny );
157
158                 D[ x ][ y ][ z ][ 1 ] = D[ x ][ y ][ z ][ 2 ] = \

```

```

159     D[ x ][ y ][ z ][ 7 ] = constant*ny;
160
161     D[ x ][ y ][ z ][ 15 ] = D[ x ][ y ][ z ][ 18 ] = \
162     D[ x ][ y ][ z ][ 20 ] = constant*(( 1-2*ny )/2);
163
164     D[ x ][ y ][ z ][ 3 ] = D[ x ][ y ][ z ][ 4 ] = D[ x ][ y ][ z ][ 5 ] = \
165     D[ x ][ y ][ z ][ 8 ] = D[ x ][ y ][ z ][ 9 ] = D[ x ][ y ][ z ][ 10 ] = \
166     D[ x ][ y ][ z ][ 12 ] = D[ x ][ y ][ z ][ 13 ] = D[ x ][ y ][ z ][ 14 ] = \
167     D[ x ][ y ][ z ][ 16 ] = D[ x ][ y ][ z ][ 17 ] = D[ x ][ y ][ z ][ 19 ] = 0.0;
168 }
169 }
170 }
171 }
172
173 /* =====
174 function to compute Sigma=stiffness matrix*epsilon ( S=D*E )
175 ----- */
176 void computeStress() {
177     for( int i=0; i<X; i++ ) {
178         for( int j=0; j<Y; j++ ) {
179             for( int k=0; k<Z; k++ ) {
180                 // isotropic case
181                 S[ get_index( i, j, k, 0 ) ] = \
182                 D[ i ][ j ][ k ][ 0 ]*E[ get_index( i, j, k, 0 ) ] + \
183                 D[ i ][ j ][ k ][ 1 ]*E[ get_index( i, j, k, 1 ) ] + \
184                 D[ i ][ j ][ k ][ 2 ]*E[ get_index( i, j, k, 2 ) ];
185
186                 S[ get_index( i, j, k, 1 ) ] = \
187                 D[ i ][ j ][ k ][ 1 ]*E[ get_index( i, j, k, 0 ) ] + \
188                 D[ i ][ j ][ k ][ 6 ]*E[ get_index( i, j, k, 1 ) ] + \
189                 D[ i ][ j ][ k ][ 7 ]*E[ get_index( i, j, k, 2 ) ];
190
191                 S[ get_index( i, j, k, 2 ) ] = \
192                 D[ i ][ j ][ k ][ 2 ]*E[ get_index( i, j, k, 0 ) ] + \
193                 D[ i ][ j ][ k ][ 7 ]*E[ get_index( i, j, k, 1 ) ] + \
194                 D[ i ][ j ][ k ][ 11 ]*E[ get_index( i, j, k, 2 ) ];
195
196                 S[ get_index( i, j, k, 3 ) ] = \
197                 2*D[ i ][ j ][ k ][ 15 ]*E[ get_index( i, j, k, 3 ) ];
198
199                 S[ get_index( i, j, k, 4 ) ] = \
200                 2*D[ i ][ j ][ k ][ 18 ]*E[ get_index( i, j, k, 4 ) ];
201
202                 S[ get_index( i, j, k, 5 ) ] = \
203                 2*D[ i ][ j ][ k ][ 20 ]*E[ get_index( i, j, k, 5 ) ];
204             }
205         }
206     }
207 }
208
209 /* =====
210 function to initialize strains ( epsilon )
211 ----- */
212 void initializeStrains( int a ) {
213     for( int q=0; q<6; q++ ) {
214         E0[ q ]= Loads[ a ][ q+1 ];
215     }
216 }

```

```
217     for( int i=0; i<X; i++ ) {
218         for( int j=0; j<Y; j++ ) {
219             for( int k=0; k<Z; k++ ) {
220                 for( int q=0; q<6; q++ ) {
221                     E[ get_index( i, j, k, q )]=E0[ q ];
222                 }
223             }
224         }
225     }
226 }
227
228 /* =====
229 function to normalize strains ( epsilon )
230 ----- */
231 void normalize() {
232     for( int i=0; i<X; i++ ) {
233         for( int j=0; j<Y; j++ ) {
234             for( int k=0; k<(2*(Z/2+1)); k++ ) {
235                 for( int q=0; q<6; q++ ) {
236                     E[ get_index( i, j, k, q )] /= scale;
237                 }
238             }
239         }
240     }
241 }
242
243 /* =====
244 function to store results from previous iteration
245 ----- */
246 void store_prev_results() {
247     for( int i=0; i<X; i++ ) {
248         for( int j=0; j<Y; j++ ) {
249             for( int k=0; k<Z; k++ ) {
250                 for( int q=0; q<6; q++ ) {
251                     S_prev[ get_index( i, j, k, q ) ] = S[ get_index( i, j, k, q ) ];
252                 }
253             }
254         }
255     }
256 }
257
258 /* =====
259 function to compute error and average stress and strains
260 ----- */
261 int check_stresses( ) {
262     int array_size = X*Y*Z*6;
263     double strain_av[ 6 ] = { 0.0, 0.0, 0.0, 0.0, 0.0, 0.0 };
264     double stress_av[ 6 ] = { 0.0, 0.0, 0.0, 0.0, 0.0, 0.0 };
265
266     error = 0.0;
267     for( int i=0; i<X; i++ ) {
268         for( int j=0; j<Y; j++ ) {
269             for( int k=0; k<Z; k++ ) {
270                 for( int q=0; q<6; q++ ) {
271                     error+=pow( S_prev[ get_index( i,j,k,q )] - S[ get_index( i,j,k,q )], 2 );
272                     stress_av[ q ]+=S[ get_index( i, j, k, q )];
273                     strain_av[ q ]+=E[ get_index( i, j, k, q )];
274                 }

```

```

275     }
276   }
277 }
278
279 for( int i=0; i<6; i++ ) {
280   stress_av[ i ]=stress_av[ i ]/scale;
281   strain_av[ i ]=strain_av[ i ]/scale;
282   if( i>=3 && i<=5 ) {
283     strain_av[ i ]*=2.0; //convert shear eigenstrain
284   }
285   printf( "Stress (%d)=%lf Strain (%d)=%lf\n", i, stress_av[ i ], i, strain_av[ i ] );
286   fflush( stdout );
287 }
288
289 error = sqrt( error ) / array_size;
290 printf( "error = %e tolerance = %e\n", error, tolerance );
291 fflush( stdout );
292
293 if( error<tolerance ) { // when the error is smaller than tolerance, finish
294   return 0; // end of iteration
295 }
296 else {
297   store_prev_results();
298   return 1;
299 }
300 }
301
302 /* =====
303    function to return gamma operator
304    ----- */
305 double gama_iso( int i, int j, int k, int h, double* x ) {
306   double vel;
307   double lambda=0.0;
308   double my;
309   double gama=0.0;
310   my=ii/2; // mu of reference medium
311   vel=x[ 0 ]*x[ 0 ]+x[ 1 ]*x[ 1 ]+x[ 2 ]*x[ 2 ];
312
313   gama = (( 1.0/4.0 ) / ( my*vel )) * ((( k==i ) * x[ h-1 ]*x[ j-1 ]) + \
314     (( h==i ) * x[ k-1 ]*x[ j-1 ]) + (( k==j ) * x[ h-1 ]*x[ i-1 ]) + \
315     (( h==j ) * x[ k-1 ]*x[ i-1 ])) - (( lambda+my ) / ( my*( lambda+2.0*my ))) * \
316     (( x[ i-1 ]*x[ j-1 ]*x[ k-1 ]*x[ h-1 ]) / ( vel*vel ));
317
318   if( my == 0.0 ) {
319     return( 0.0 ); // because in this case gama = NaN
320   }
321   else {
322     return gama;
323   }
324 }
325
326 /* =====
327    - function computes all eigenvalues and eigenvectors of the matrix
328    - matrix is stored as dense matrix and will be overwritten!
329    - eigenvectors are columns of the matrix evec but matrix is stored
330    in usual way, by rows.
331
332    param a - array containing matrix

```

```
333 param evec - array containing eigenvectors
334 param eval - array containing eigenvalues
335 param n - order of matrix a (number of rows or columns)
336 param ni - maximum number of iterations
337 param ani - number of performed iterations
338 param limit - maximum acceptable absolute value of offdiagonal element
339 ----- */
340 void jacobi( double *a, double *evec, double *eval, long n, long ni, long &ani, \
341            double limit ) {
342     long i, j, k, l, ii, jj, en, nn;
343     double c, s, q, r, t, ai, aj;
344
345     en=(n*n-n)/2;
346
347     // initial values
348     k=0;
349     for( i=0; i<n; i++ ) {
350         for( j=0; j<n; j++ ) {
351             evec[ k ]=0.0;
352             k++;
353         }
354     }
355     for( i=0; i<n; i++ ) {
356         evec[ i*n+i ]=1.0;
357     }
358
359     // main iteration loop
360     for( k=0; k<ni; k++ ) {
361         nn=0;
362         for( i=0; i<n; i++ ) {
363             for( j=i+1; j<n; j++ ) {
364                 if( fabs( a[ i*n+j ] )<limit ) {
365                     nn++;
366                     continue;
367                 }
368                 else {
369                     q=(a[j*n+j]-a[i*n+i])/2.0/a[i*n+j];
370                     r=sqrt(1.0+q*q);
371                     if (q>=0.0) {
372                         t=-q+r;
373                     }
374                     else {
375                         t=-q-r;
376                     }
377                     r=sqrt(1.0+t*t);
378                     c=1.0/r;
379                     s=t*c;
380
381                     // A.J
382                     ii=i;
383                     jj=j;
384                     for( l=0; l<n; l++ ) {
385                         ai=a[ii];
386                         aj=a[jj];
387                         a[ii]=ai*c-aj*s;
388                         a[jj]=ai*s+aj*c;
389                         ii+=n;
390                         jj+=n;
```

```

391     }
392
393     // J.A.J
394     ii=i*n;
395     jj=j*n;
396     for( l=0; l<n; l++ ) {
397         ai=a[ii];
398         aj=a[jj];
399         a[ii]=ai*c-aj*s;
400         a[jj]=ai*s+aj*c;
401         ii++;
402         jj++;
403     }
404
405     // Q=Q.J
406     ii=i;
407     jj=j;
408     for( l=0; l<n; l++ ) {
409         ai=evec[ii];
410         aj=evec[jj];
411         evec[ii]=ai*c-aj*s;
412         evec[jj]=ai*s+aj*c;
413         ii+=n;
414         jj+=n;
415     }
416 }
417 }
418 }
419 if( nn==en ) {
420     break;
421 }
422 }
423
424 // number of performed iterations
425 ani=k;
426
427 for( i=0; i<n; i++ ) {
428     eval[ i ]=a[ i*n+i ];
429 }
430 }
431
432 /* =====
433 function to store data in 2 dimensional array (option 1)
434 ----- */
435 void storeData_opt1( int J, int K ) {
436     for( int i=0; i<X; i++ ) {
437         for( int j=0; j<tWidth; j++ ) {
438             for( int k=0; k<tHeight; k++ ) {
439                 for( int q=0; q<6; q++ ) {
440                     Stress_tensors[ get_ijk( i, ( J*tWidth )+j ,( K*tHeight )+k )][ q ] = \
441                         S[ get_index( i, j+tWidth, k+tHeight, q )];
442
443                     Strain_tensors[ get_ijk( i, ( J*tWidth )+j ,( K*tHeight )+k )][ q ] = \
444                         E[ get_index( i, j+tWidth, k+tHeight, q )];
445
446                     Microstructure[ get_ijk( i, ( J*tWidth )+j ,( K*tHeight )+k )] = \
447                         M[ j+tWidth ][ k+tHeight ];
448                 }

```

```
449     }
450   }
451 }
452 }
453
454 /* =====
455 function to store data in 2 dimensional array (option 2)
456 ----- */
457 void storeData_opt2() {
458   for( int i=0; i<X; i++ ) {
459     for( int j=0; j<Y; j++ ) {
460       for( int k=0; k<Z; k++ ) {
461         for( int q=0; q<6; q++ ) {
462           Stress_tensors[ get_ijk( i, j, k )][ q ] = S[ get_index( i, j, k, q )];
463           Strain_tensors[ get_ijk( i, j, k )][ q ] = E[ get_index( i, j, k, q )];
464           Microstructure[ get_ijk( i, j, k )] = M[ j ][ k ];
465         }
466       }
467     }
468   }
469 }
470
471 /* =====
472 function to print results to VTK
473 ----- */
474 void printVTK( int n ) {
475   FILE *output = NULL;
476   double **points;
477   char VTK_filename[ 100 ];
478   int **cells;
479   int *cell_types;
480   int N = 0, n_points, n_cells;
481
482   sprintf( VTK_filename, "%s_load%d.vtk", _OUTPUT_FILE_, n );
483
484   int X_size = X;
485   int Y_size = map_columns*tWidth;
486   int Z_size = map_rows*tHeight;
487
488   n_points = ( X_size+1 )*( Y_size+1 )*(Z_size+1);
489   n_cells = X_size*Y_size*Z_size;
490
491   points = create_2D_array_double( n_points, 3 );
492   cells = create_2D_array_int( n_cells, 9 );
493   cell_types = new int [ n_cells ];
494
495   N = 0;
496   for( int x=0; x<( X_size+1 ); x++ ) {
497     for( int y=0; y<( Y_size+1 ); y++ ) {
498       for( int z=0; z<( Z_size+1 ); z++ ) {
499         points[ N ][ 0 ] = x/10.0;
500         points[ N ][ 1 ] = y/10.0;
501         points[ N ][ 2 ] = z/10.0;
502         N++;
503       }
504     }
505   }
506 }
```

```

507     N = 0;
508     int P = 0;
509     for( int x=0; x<X_size ; x++ ) {
510         for( int y=0; y<Y_size; y++ ) {
511             for( int z=0; z<Z_size; z++ ) {
512                 cells[ N ][ 0 ] = 8;
513                 cells[ N ][ 1 ] = P;
514                 cells[ N ][ 2 ] = P+(Z_size+1)*(Y_size+1);
515                 cells[ N ][ 3 ] = P+(Z_size+1);
516                 cells[ N ][ 4 ] = P+(Z_size+1)*(Y_size+1)+(Z_size+1);
517                 cells[ N ][ 5 ] = cells[ N ][ 1 ]+1;
518                 cells[ N ][ 6 ] = cells[ N ][ 2 ]+1;
519                 cells[ N ][ 7 ] = cells[ N ][ 3 ]+1;
520                 cells[ N ][ 8 ] = cells[ N ][ 4 ]+1;
521                 N++;
522                 P++;
523             }
524             P++;
525         }
526         P++;
527     }
528
529
530     for( int i = 0; i < n_cells; i++ ) {
531         cell_types[ i ] = 11;
532     }
533
534     OpenFile( &output, VTK_filename, "wt" );
535     char fileversion[] = "3.0";
536     char Micro_mark[] = "Microstructure";
537     postWangTilesVtk VTK_output;
538     VTK_output.printVtkHeaderUnstructuredGrid( output, fileversion, _CREATOR_ , \
539                                             Loads[ n ]);
540     VTK_output.printVtkNodalCoordinates( output, points, n_points );
541     VTK_output.printVtkCells( output, cells, n_cells );
542     VTK_output.printVtkCellTypes( output, cell_types, n_cells );
543     VTK_output.printVtk_CELL_DATA_keyword( output, n_cells );
544     VTK_output.printVtkIntScalars( output, Microstructure, Micro_mark, n_cells );
545     VTK_output.printVtkDoubleVoigtMandelTensors( output, Stress_tensors, \
546                                             Stress_name , n_cells );
547     VTK_output.printVtkDoubleVoigtMandelTensors( output, Strain_tensors, \
548                                             Strain_name , n_cells );
549
550     CloseFile( output );
551     printf( "\nVTK file created!\n\n" );
552
553     delete_2D_array( points, n_points );
554     delete_2D_array( cells, n_cells );
555     delete cell_types;
556 }
557
558 // =====
559 void get_eig_val( double *min, double *max ) {
560     double evec[36];
561     double matrix[36];
562     double matrix1[36];
563     double eval[6];
564     long ani=0;

```



```
565 min[0]=min[1]=10000000;
566 max[0]=max[1]=0;
567
568 //go through all phases in the material
569 for( int i=0; i<X; i++ ) {
570     for( int j=0; j<Y; j++ ) {
571         for( int k=0; k<Z; k++ ) {
572             for(int l=0; l<6; l++ ) {
573                 matrix[ l ]=D[ i ][ j ][ k ][ l ];
574             }
575             matrix[ 6 ]=D[ i ][ j ][ k ][ 1 ];
576             for( int l=0; l<5; l++ ) {
577                 matrix[ 7+l ]=D[ i ][ j ][ k ][ 6+l ];
578             }
579             matrix[ 12 ]=D[ i ][ j ][ k ][ 2 ];
580             matrix[ 13 ]=D[ i ][ j ][ k ][ 7 ];
581             for( int l=0; l<4; l++ ) {
582                 matrix[ 14+l ]=D[ i ][ j ][ k ][ 11+l ];
583             }
584             matrix[ 18 ]=D[ i ][ j ][ k ][ 3 ];
585             matrix[ 19 ]=D[ i ][ j ][ k ][ 8 ];
586             matrix[ 20 ]=D[ i ][ j ][ k ][ 12 ];
587             for (int l=0; l<3; l++ ) {
588                 matrix[ 21+l ]=D[ i ][ j ][ k ][ 15+l ];
589             }
590             matrix[24]=D[i][j][k][4];
591             matrix[25]=D[i][j][k][9];
592             matrix[26]=D[i][j][k][13];
593             matrix[27]=D[i][j][k][16];
594             for (int l=0; l<2; l++ ) {
595                 matrix[ 28+l ]= D[ i ][ j ][ k ][ 18+l ];
596             }
597             matrix[ 30 ]=D[ i ][ j ][ k ][ 5 ];
598             matrix[ 31 ]=D[ i ][ j ][ k ][ 10 ];
599             matrix[ 32 ]=D[ i ][ j ][ k ][ 14 ];
600             matrix[ 33 ]=D[ i ][ j ][ k ][ 17 ];
601             matrix[ 34 ]=D[ i ][ j ][ k ][ 19 ];
602             matrix[ 35 ]=D[ i ][ j ][ k ][ 20 ];
603
604 //copy matrices
605 for(int l=0; l<36; l++ ) {
606     matrix1[ l ]=matrix[ l ];
607 }
608
609 jacobi( matrix, evec, eval, 6, 200, ani, 0.000001);
610 for( int l=0; l<6; l++ ) {
611     if( eval[ l ]<min[ 0 ] ) {
612         min[ 0 ]=eval[ l ];
613         if( eval[ l ]<tolerance ) {
614             printf( "chyba %d %d %d at %d\n", i, j, k, l );
615         }
616     }
617     if( eval[ l ]>max[ 0 ] ) {
618         max[ 0 ]=eval[ l ];
619     }
620 }
621 //rotate matrix
622 for( int l=0; l<6; l++ ) {
```

```

623         for( int t=3; t<6; t++ ) {
624             matrix1[ t*6+1 ]*=sqrt( 2. );
625             matrix1[ 1*6+t ]*=sqrt( 2. );
626         }
627     }
628
629     jacobi( matrix1, evec, eval, 6, 200, ani, 0.000001 );
630     for( int l=0; l<6; l++ ) {
631         if( eval[ l ]<min[ 1 ] ) {
632             min[ 1 ]=eval[ l ];
633             if( eval[ l ]<tolerance ) {
634                 printf( "chyba %d %d %d at %d\n", i, j, k, l );
635             }
636         }
637         if( eval[ l ]>max[ 1 ] ) {
638             max[ 1 ]=eval[ l ];
639         }
640     }
641 }
642 }
643 }
644 }
645
646 // =====
647 void getFourierStrain( ) {
648     double ksi[ 3 ]={ 0.0, 0.0, 0.0 };
649
650     for( int i=0; i<X; i++ ) {
651         for( int j=0; j<Y; j++ ) {
652             for( int k=0; k<( Z/2+1 ); k++ ) {
653                 ksi[ 0 ]=( i-X*(( i>X/2 ) ? 1:0 ))*( 1.0/periodx );
654                 ksi[ 1 ]=( j-Y*(( j>Y/2 ) ? 1:0 ))*( 1.0/periody );
655                 ksi[ 2 ]=k*( 1.0/periodz );
656
657                 if(( i==0 )&&( j==0 )&&( k==0 )) {
658                     for( int q=0; q<6; q++ ) {
659                         E[ get_index( 0, 0, 0, 2*q )]=E0[ q ]*scale;
660                         E[ get_index( 0, 0, 0, 2*q+1 )]=0.0;
661                     }
662                 }
663                 else {
664                     for( int q=0; q<3; q++ ) {
665                         E[ get_index( i, j, 2*k, 2*q )] -= \
666                         (gama_iso( q+1,q+1,1,1,ksi )*S[ get_index( i, j, 2*k, 0 )] + \
667                         gama_iso( q+1,q+1,2,2,ksi )*S[ get_index( i, j, 2*k, 2 )] + \
668                         gama_iso( q+1,q+1,3,3,ksi )*S[ get_index( i, j, 2*k, 4 )] + \
669                         2*(gama_iso( q+1,q+1,1,2,ksi )*S[ get_index( i, j, 2*k, 10 )] + \
670                         gama_iso( q+1,q+1,1,3,ksi )*S[ get_index( i, j, 2*k, 8 )] + \
671                         gama_iso( q+1,q+1,2,3,ksi )*S[ get_index( i, j, 2*k, 6 )]));
672
673                         E[ get_index( i, j, 2*k, 2*q+1 )] -= \
674                         (gama_iso( q+1,q+1,1,1,ksi )*S[ get_index( i, j, 2*k, 1 )] + \
675                         gama_iso( q+1,q+1,2,2,ksi )*S[ get_index( i, j, 2*k, 3 )] + \
676                         gama_iso( q+1,q+1,3,3,ksi )*S[ get_index( i, j, 2*k, 5 )] + \
677                         2*(gama_iso( q+1,q+1,1,2,ksi )*S[ get_index( i, j, 2*k, 11 )] + \
678                         gama_iso( q+1,q+1,1,3,ksi )*S[ get_index( i, j, 2*k, 9 )] + \
679                         gama_iso( q+1,q+1,2,3,ksi )*S[ get_index( i, j, 2*k, 7 )]));
680                     }

```

```

681     for ( int q=1; q<3; q++ ) {
682         for (int l=q+1; l<4; l++) {
683             E[ get_index( i, j, 2*k, 2*(8-q-1) )] -= \
684                 (gama_iso(q,l,1,1,ksi)*S[ get_index( i, j, 2*k, 0 )] + \
685                 gama_iso(q,l,2,2,ksi)*S[ get_index(i, j, 2*k, 2 )] + \
686                 gama_iso(q,l,3,3,ksi)*S[ get_index( i, j, 2*k, 4 )] + \
687                 2*(gama_iso(q,l,1,2,ksi)*S[ get_index( i, j, 2*k, 10 )] + \
688                 gama_iso(q,l,1,3,ksi)*S[ get_index( i, j, 2*k, 8 )] + \
689                 gama_iso(q,l,2,3,ksi)*S[ get_index( i, j, 2*k, 6 )]));
690
691             E[ get_index( i, j, 2*k, 2*(8-q-1)+1 )] -= \
692                 (gama_iso(q,l,1,1,ksi)*S[ get_index( i, j, 2*k, 1 )] + \
693                 gama_iso(q,l,2,2,ksi)*S[ get_index ( i, j, 2*k, 3 )] + \
694                 gama_iso(q,l,3,3,ksi)*S[ get_index( i, j, 2*k, 5 )] + \
695                 2*(gama_iso(q,l,1,2,ksi)*S[ get_index( i, j, 2*k, 11 )] + \
696                 gama_iso(q,l,1,3,ksi)*S[ get_index( i, j, 2*k, 9 )] + \
697                 gama_iso (q,l,2,3,ksi)*S[ get_index( i, j, 2*k, 7 )]));
698         }
699     }
700 }
701 }
702 }
703 }
704 }
705
706 /* =====
707 function for load tile file names from input file, create, load and extend
708 tiling map
709 ----- */
710 void loadTiles( FILE *file ) {
711     _TILE_NAMES_ = new char* [ _NO_TILES_ ];
712     for( int i=0; i<_NO_TILES_; i++ ) {
713         _TILE_NAMES_[ i ] = new char [ 100 ];
714         fgetstr( _TILE_NAMES_[ i ], 100, file );
715     }
716
717     fgetstr( _TILING_MAP_FILENAME_, 100, file );
718     map_rows = GetRangeOfFileRows( _TILING_MAP_FILENAME_ );
719     map_columns = GetRangeOfFileColumns( _TILING_MAP_FILENAME_ );
720
721     tile_map = new int* [ map_rows+2 ]; // +2 to create one periodic layer around
722     for( int i=0; i<map_rows+2; i++ ) {
723         tile_map[ i ] = new int [ map_columns+2 ]; // +2 to create one periodic layer around
724     }
725
726     ReadDataToArray( tile_map, _TILING_MAP_FILENAME_ , map_rows+2, map_columns+2 );
727     extendTileMap();
728 }
729
730 /* =====
731 function for load phases from phase file
732 ----- */
733 void loadPhases( char *file, int n ) {
734     FILE *phase_file = NULL;
735     int phase;
736
737     PhaseMatrix = new double* [ n ];
738     for( int i=0; i<n; i++ ) {

```

```

739     PhaseMatrix[ i ] = new double [ 2 ]; // [ i ][ 0 ] = E; [ i ][ 1 ] = NY
740 }
741
742 OpenFile( &phase_file, file, "rt" );
743 for( int i=0; i<n; i++ ) {
744     fscanf( phase_file, "%d ", &phase );
745     if( phase == i ) {
746         fscanf( phase_file, "%lf %lf ", &PhaseMatrix[ i ][ 0 ], &PhaseMatrix[ i ][ 1 ] );
747     }
748     else {
749         Error( "\nCannot load correct phase, check Phase_file", "" );
750         exit( 0 );
751     }
752 }
753 CloseFile( phase_file );
754 }
755
756 /* =====
757    function for load Load cases from file
758    ----- */
759 void loadLoadCases( char *file, int n ) {
760     FILE *loads_file = NULL;
761
762     Loads = new double* [ n ];
763     for( int i=0; i<n; i++ ) {
764         Loads[ i ] = new double [ 7 ]; // [ i ][e11][e22][e33][e23][e13][e12]
765     }
766
767     OpenFile( &loads_file, file, "rt" );
768     for( int i=0; i<n; i++ ) {
769         fscanf( loads_file, "%lf ", &Loads[ i ][ 0 ] );
770         if( Loads[ i ][ 0 ] == i ) {
771             for( int j=1; j<7; j++ ) {
772                 fscanf( loads_file, "%lf", &Loads[ i ][ j ] );
773             }
774         }
775         else {
776             Error( "\nCannot load correct load case, check Load_cases_file", "" );
777             exit( 0 );
778         }
779     }
780     CloseFile( loads_file );
781 }
782
783 // =====
784 void Option_1() {
785     BWBitmap **tile = new BWBitmap* [ _NO_TILES_ ];
786     for( int i=0; i<_NO_TILES_; i++ ) {
787         tile[ i ] = new BWBitmap( _TILE_NAMES_[ i ] );
788     }
789
790     tHeight = tile[ 0 ]->GetHeight();
791     tWidth = tile[ 0 ]->GetWidth();
792     X = 1;
793     Y = 3*tWidth;
794     Z = 3*tHeight;
795     periodx = X;
796     periody = Y;

```

```

797     periodz = Z;
798     scale = X*Y*Z;
799     int dimensions[] = { X, Y, Z };
800     int konverg;
801     double min[ 2 ]={ 0, 0 }; //min eigenvalue
802     double max[ 2 ]={ 0, 0 }; //max eigenvalue
803     TilePhases = create_3D_array_int( _NO_TILES_, tHeight, tWidth );
804     M = create_2D_array_int( Y, Z );
805
806     for( int i=0; i<_NO_TILES_; i++ ) {
807         for( int k=0; k<tHeight; k++ ) {
808             for( int m=0; m<tWidth; m++ ) {
809                 TilePhases[ i ][ k ][ m ] = tile[ i ]->GetPixel( m, (( tHeight-1 )-k ));
810             }
811         }
812     }
813
814     printf( "\nCreating plans, arrays and computing reference medium..." );
815     fflush( stdout );
816     S = fftw_alloc_real( X*Y*(2*(Z/2+1))*6 );
817     S_prev = fftw_alloc_real( X*Y*(2*(Z/2+1))*6 );
818     E = fftw_alloc_real( X*Y*(2*(Z/2+1))*6 );
819     D = create_4D_array_double( X, Y, Z, 21 );
820     p_S = fftw_plan_many_dft_r2c( 3, dimensions, 6, S, NULL, 6, 1, \
821                                 (fftw_complex*)S, NULL, 6, 1, FFTW_MEASURE );
822     p_E = fftw_plan_many_dft_r2c( 3, dimensions, 6, E, NULL, 6, 1, \
823                                 (fftw_complex*)E, NULL, 6, 1, FFTW_MEASURE );
824     pinv_E = fftw_plan_many_dft_c2r( 3, dimensions, 6, (fftw_complex*)E, \
825                                     NULL, 6, 1, E, NULL, 6, 1, FFTW_MEASURE );
826     Stress_tensors = create_2D_array_double(( map_rows*tHeight ) * \
827                                             ( map_columns*tWidth ), 6 );
828     Strain_tensors = create_2D_array_double(( map_rows*tHeight ) * \
829                                             ( map_columns*tWidth ), 6 );
830     Microstructure = new int[( map_rows*tHeight )*( map_columns*tWidth )];
831
832     for( int load_i=0; load_i<N_loads; load_i++ ) {
833         printf( "\nComputing load case number %d\n", load_i );
834
835         // biggest cycles over each 3x3 tiles from tiling map
836         for( int I=1; I<( map_rows+1 ); I++ ) {
837             for( int J=1; J<( map_columns+1 ); J++ ) {
838                 printf( "\nComputing tile[ %d ][ %d ] from tiling map\n", I-1, J-1 );
839                 cut3to3Matrix( I, J );
840                 copyPhasestoM();
841                 computeStiffnessMatrix();
842                 get_eig_val( min, max );
843                 ii= (( min[ 0 ]+max[ 0 ] )/2 );
844                 printf("ref. medium ii=%e\n", ii);
845                 fflush(stdout);
846                 iter_num=1;
847                 konverg=1;
848                 initializeStrains( load_i );
849                 computeStress();
850                 printf( "%d\n", iter_num );
851                 store_prev_results();
852
853                 while(( konverg!=0 )&&( iter_num<ITERMAX )) {
854                     iter_num++;

```

```

855         fftw_execute( p_S );
856         fftw_execute( p_E );
857         printf( "%d\n", iter_num );
858         getFourierStrain();
859         fftw_execute( pinv_E );
860         normalize();
861         computeStress();
862
863         //check at beginning and in every 10th cycle
864         if(( iter_num==2 ) || ( iter_num%10==0 )) {
865             konverg=check_stresses();
866         }
867     }
868     storeData_opt1( I-1, J-1 );
869 }
870 }
871 printVTK( load_i );
872 }
873
874 fftw_destroy_plan( p_S );
875 fftw_destroy_plan( p_E );
876 fftw_destroy_plan( pinv_E );
877 fftw_free( S );
878 fftw_free( S_prev );
879 fftw_free( E );
880 delete_4D_array( D, X, Y, Z );
881 delete_3D_array( TilePhases , _NO_TILES_, tHeight );
882 delete_2D_array( M , Y );
883 delete_2D_array( Stress_tensors , tHeight*tWidth );
884 delete_2D_array( Strain_tensors , tHeight*tWidth );
885 delete [] Microstructure;
886 for( int i=0; i<_NO_TILES_; i++ ) {
887     delete tile[ i ];
888 }
889 }
890
891 // =====
892 void Option_2() {
893     BmpBitmap *original = new BmpBitmap( _ORIGINAL_ );
894     tHeight = original->GetHeight( );
895     tWidth = original->GetWidth( );
896     X = 1;
897     Y = tWidth;
898     Z = tHeight;
899     periodx = X;
900     periody = Y;
901     periodz = Z;
902     scale = X*Y*Z;
903
904     int dimensions[] = { X, Y, Z };
905     int konverg;
906     double min[ 2 ]={ 0.0, 0.0 }; //min eigenvalue
907     double max[ 2 ]={ 0.0, 0.0 }; //max eigenvalue
908
909     M = create_2D_array_int( Y, Z );
910     for( int k=0; k<tHeight; k++ ) {
911         for( int m=0; m<tWidth; m++ ) {
912             M[ k ][ m ] = original->GetPixel( m, (( tHeight-1 )-k ));

```

```

913     }
914 }
915
916 printf( "\nCreating plans, arrays and computing reference medium..." );
917 fflush( stdout );
918 S = fftw_alloc_real( X*Y*(2*(Z/2+1))*6 );
919 S_prev = fftw_alloc_real( X*Y*(2*(Z/2+1))*6 );
920 E = fftw_alloc_real( X*Y*(2*(Z/2+1))*6 );
921 D = create_4D_array_double( X, Y, Z, 21 );
922 p_S = fftw_plan_many_dft_r2c( 3, dimensions, 6, S, NULL, 6, 1, \
923                               (fftw_complex*)S, NULL, 6, 1, FFTW_MEASURE );
924 p_E = fftw_plan_many_dft_r2c( 3, dimensions, 6, E, NULL, 6, 1, \
925                               (fftw_complex*)E, NULL, 6, 1, FFTW_MEASURE );
926 pinv_E = fftw_plan_many_dft_c2r( 3, dimensions, 6, (fftw_complex*)E, \
927                                   NULL, 6, 1, E, NULL, 6, 1, FFTW_MEASURE );
928 Stress_tensors = create_2D_array_double( tHeight* tWidth, 6 );
929 Strain_tensors = create_2D_array_double( tHeight* tWidth, 6 );
930 Microstructure = new int[ tHeight*tWidth ];
931
932 computeStiffnessMatrix(); // computing the stiffness matrix
933 get_eig_val( min, max ); // computing eigen values
934 ii=(( min[ 0 ]+max[ 0 ] )/2 );
935 printf( "ref. medium ii = %e\n", ii );
936 fflush( stdout );
937
938 for( int load_i=0; load_i<N_loads; load_i++ ) {
939     iter_num=1;
940     konverg=1;
941     initializeStrains( load_i );
942     computeStress();
943     printf( "%d\n", iter_num );
944     store_prev_results();
945
946     while(( konverg!=0 )&&( iter_num<ITERMAX )) {
947         iter_num++;
948         fftw_execute( p_S );
949         fftw_execute( p_E );
950         printf( "%d\n", iter_num );
951         getFourierStrain();
952         fftw_execute( pinv_E );
953         normalize();
954         computeStress();
955
956         //check at beginning and in every 10th cycle
957         if(( iter_num==2 ) || ( iter_num%10==0 )) {
958             konverg=check_stresses();
959         }
960     }
961     storeData_opt2();
962     printVTK( load_i );
963 }
964
965 fftw_destroy_plan( p_S );
966 fftw_destroy_plan( p_E );
967 fftw_destroy_plan( pinv_E );
968 fftw_free( S );
969 fftw_free( S_prev );
970 fftw_free( E );

```

```

971 delete_4D_array( D, X, Y, Z );
972 delete_2D_array( M , Y );
973 delete_2D_array( Stress_tensors , tHeight*tWidth );
974 delete_2D_array( Strain_tensors , tHeight*tWidth );
975 delete [] Microstructure;
976 delete original;
977 }
978
979 /* =====
980 function for load data from input file ( Option 1 )
981 ----- */
982 void loadInput_opt1( ) {
983 FILE *in_file = NULL;
984 char _PHASES_FILENAME_[ 100 ];
985 char _LOADS_FILENAME_[ 100 ];
986 char tmp[ 20 ];
987 int N_phases;
988
989 printf( "\nLoading input..." );
990 OpenFile( &in_file, _INPUT_FILE_, "rt" );
991 fgetstr( tmp, 20, in_file );
992 if ( strcmp( tmp, "Option_1" ) ) { // checking correct input file
993 Error( "\nProbably wrong input file, check your input file first line, " \
994 "must contain \"Option_1\"\n", "" );
995 exit( 0 );
996 }
997
998 //char file_type[ 10 ];
999 // loading type of computation (stress / strain )
1000 //fgetstr( file_type, 10, in_file );
1001 //printf( "\n%s", file_type );
1002
1003 fscanf( in_file, "%d ", &NO_TILES_ ); // important: must be like this => "%d "
1004 loadTiles( in_file );
1005
1006 fscanf( in_file, "%d " , &N_phases ); // Loading number of phases from input file
1007 fgetstr( _PHASES_FILENAME_, 100, in_file );
1008 loadPhases( _PHASES_FILENAME_, N_phases );
1009
1010 fscanf( in_file, "%d " , &N_loads );
1011 fgetstr( _LOADS_FILENAME_, 100, in_file );
1012 loadLoadCases( _LOADS_FILENAME_, N_loads );
1013
1014 fgetstr( _OUTPUT_FILE_, 100, in_file );
1015 fscanf( in_file, "%lf " , &tolerance );
1016 fscanf( in_file, "%d " , &ITERMAX );
1017 fgetstr( _CREATOR_, 100, in_file );
1018 fgetstr( Stress_name, 100, in_file );
1019 fgetstr( Strain_name, 100, in_file );
1020
1021 CloseFile( in_file );
1022 }
1023
1024 /* =====
1025 function for load data from input file ( Option 2 )
1026 ----- */
1027 void loadInput_opt2( ) {
1028 FILE *in_file = NULL;

```



```

1029     char tmp[ 20 ];
1030     char _PHASES_FILENAME_[ 100 ];
1031     char _LOADS_FILENAME_[ 100 ];
1032     int N_phases;
1033
1034     printf( "\nLoading input.." );
1035     OpenFile( &in_file, _INPUT_FILE_, "rt" );
1036     fgetstr( tmp, 20, in_file );
1037     if ( strcmp( tmp, "Option_2" ) ) { // checking correct input file
1038         Error( "\nProbably wrong input file, check your input file first line, " \
1039             "must contain \"Option_2\"\n", "" );
1040         exit( 0 );
1041     }
1042     fgetstr( _ORIGINAL_, 100, in_file );
1043
1044     fscanf( in_file, "%d ", &N_phases );
1045     fgetstr( _PHASES_FILENAME_, 100, in_file );
1046     loadPhases( _PHASES_FILENAME_, N_phases );
1047
1048     fscanf( in_file, "%d ", &N_loads );
1049     fgetstr( _LOADS_FILENAME_, 100, in_file );
1050     loadLoadCases( _LOADS_FILENAME_, N_loads );
1051
1052     fgetstr( _OUTPUT_FILE_, 100, in_file );
1053     fscanf( in_file, "%lf ", &tolerance );
1054     fscanf( in_file, "%d ", &ITERMAX );
1055     fgetstr( _CREATOR_, 100, in_file );
1056     fgetstr( Stress_name, 100, in_file );
1057     fgetstr( Strain_name, 100, in_file );
1058
1059     CloseFile( in_file );
1060 }
1061
1062 /* =====
1063 function to print HELP for program
1064 ----- */
1065 void printHelp() {
1066     printf( "\nTo run use following syntax: <executable_file> <option> <input_file>\n"
1067         "-----\n"
1068         "HELP:\n"
1069         "-----\n"
1070         "1 = option to compute with tiles\n"
1071         "needed files:\n"
1072         "\t'input file', 'phases file', 'tiles files', 'tiling map file'\n"
1073         "\t( look in example files )\n"
1074         "2 = option to compute single domain\n"
1075         "needed files:\n"
1076         "\t'input file', 'phases file', 'single domain file'\n"
1077         "\t( look in example files )\n"
1078         "other important facts:\n"
1079         "\t- minimal dimensions to compute are 3x3 pixels\n"
1080         "\t- file containing tile map, MUST end with empty line\n"
1081         "-----\n"
1082     );
1083 }
1084
1085 /* =====
1086 Main function

```

```

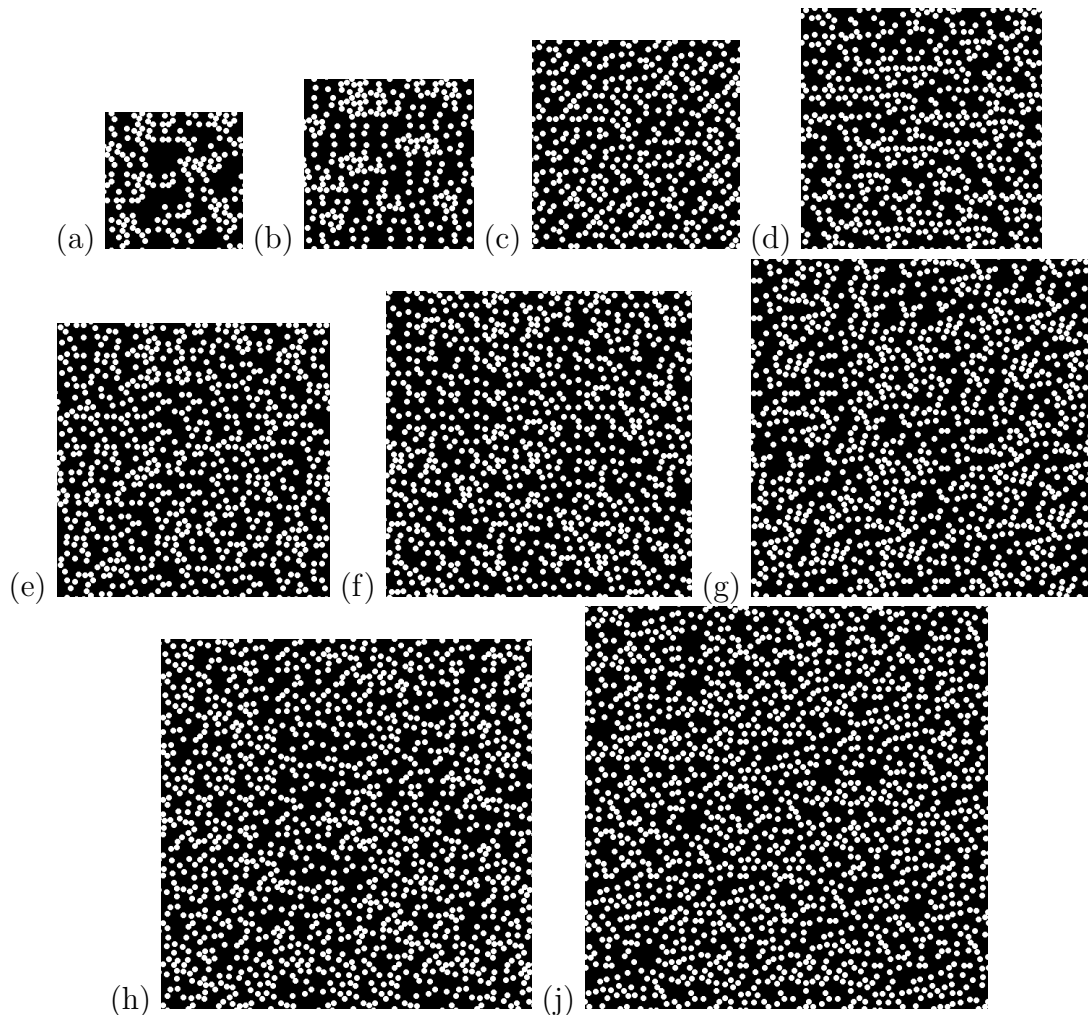
1087     argv[ 0 ] = executable file
1088     argv[ 1 ] = option ( 1 = compute with tiles; 2 = compute one domain )
1089     argv[ 2 ] = input file
1090     ----- */
1091 int main( int argc, char *argv[] ){
1092
1093     if( argc != 3 ){
1094         printHelp();
1095         return 0;
1096     }
1097
1098     strcpy( _INPUT_FILE_, argv[ 2 ] );
1099
1100     if( strcmp( argv[ 1 ], "1" ) == 0 ) {
1101         printf( "\nOption 1:\n" );
1102         loadInput_opt1();
1103         Option_1();
1104         printf( "\nSuccessfully completed!\n\a" );
1105
1106         return( 1 );
1107     }
1108
1109     else if( strcmp( argv[ 1 ], "2" ) == 0 ) {
1110         printf( "Option 2:\n" );
1111         loadInput_opt2();
1112         Option_2();
1113         printf( "\nSuccessfully completed!\n\a" );
1114         return( 1 );
1115     }
1116
1117     else {
1118         printf( "\nWrong or missing option.\n\n" );
1119         printHelp();
1120         return( 0 );
1121     }
1122 }

```

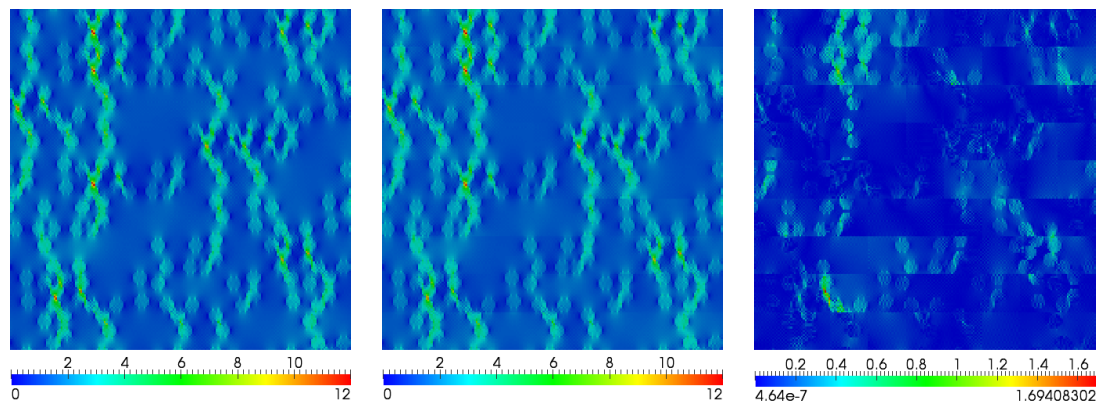
Příloha B

Obrázky

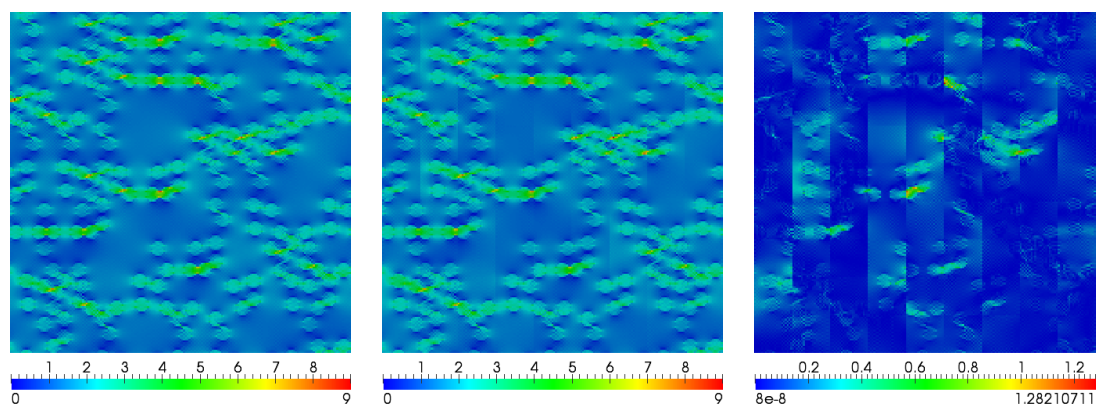
Příloha obsahuje všechny obrázky a výsledky získané při tvorbě této diplomové práce.



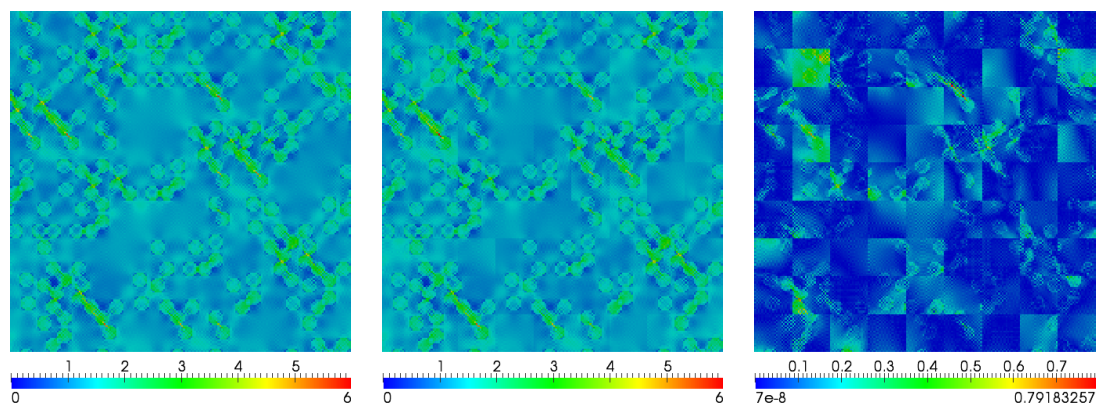
Obrázek B.1: Zrekonstruované mikrostruktury: (a) W8/2-2-010, (b) W8/2-2-017, (c) W8/2-2-027, (d) W8/2-2-038, (e) W8/2-2-052, (f) W8/2-2-067, (g) W8/2-2-084, (h) W8/2-2-104, (j) W8/2-2-125



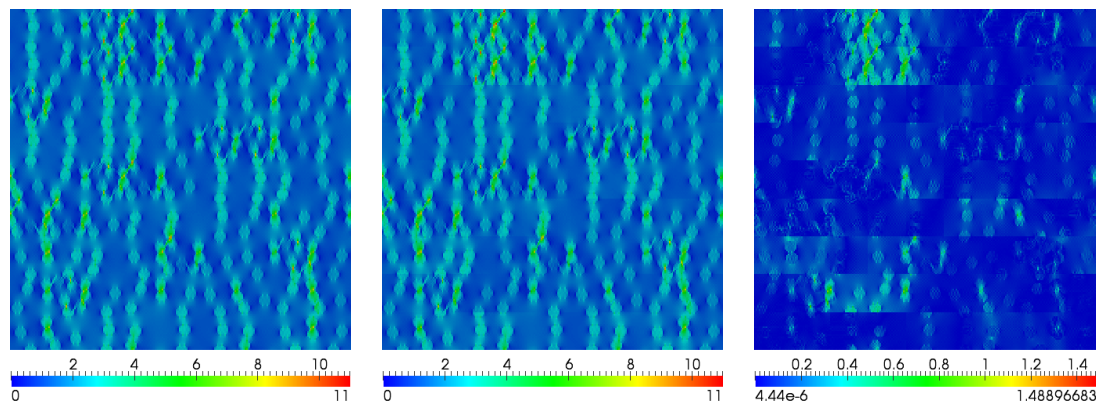
Obrázek B.2: Množina W8/2-2-010, složka napětí σ_y



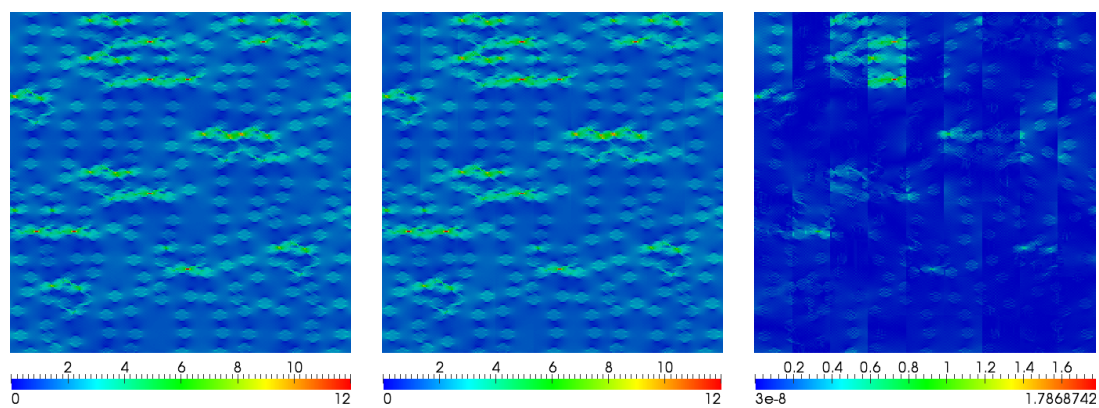
Obrázek B.3: Množina W8/2-2-010, složka napětí σ_z



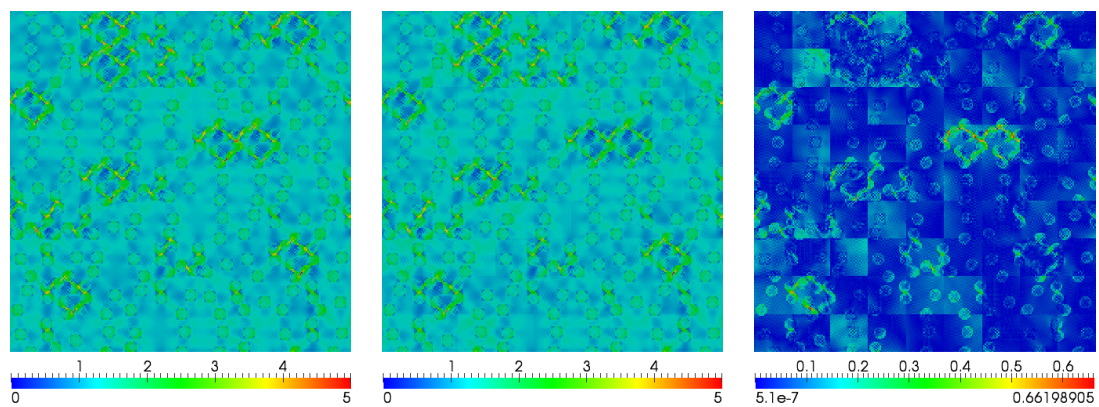
Obrázek B.4: Množina W8/2-2-010, složka napětí τ_{yz}



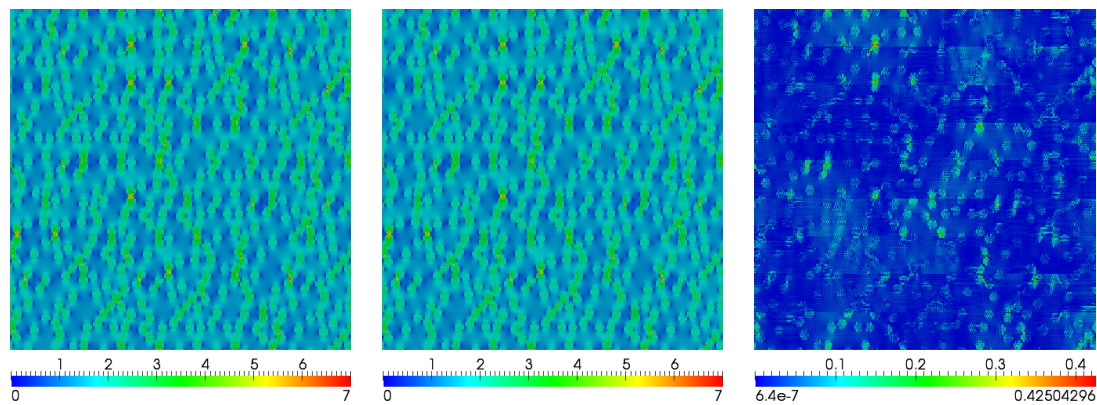
Obrázek B.5: Množina W8/2-2-017, složka napětí σ_y



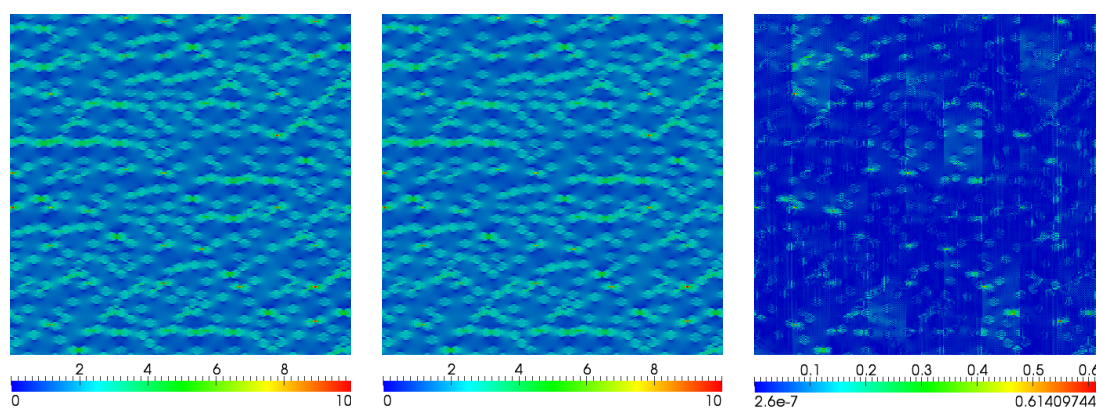
Obrázek B.6: Množina W8/2-2-017, složka napětí σ_z



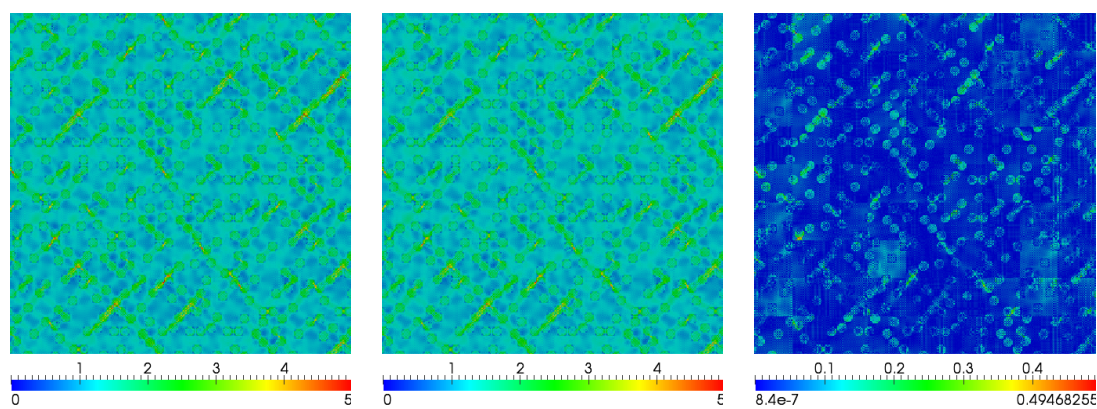
Obrázek B.7: Množina W8/2-2-017, složka napětí τ_{yz}



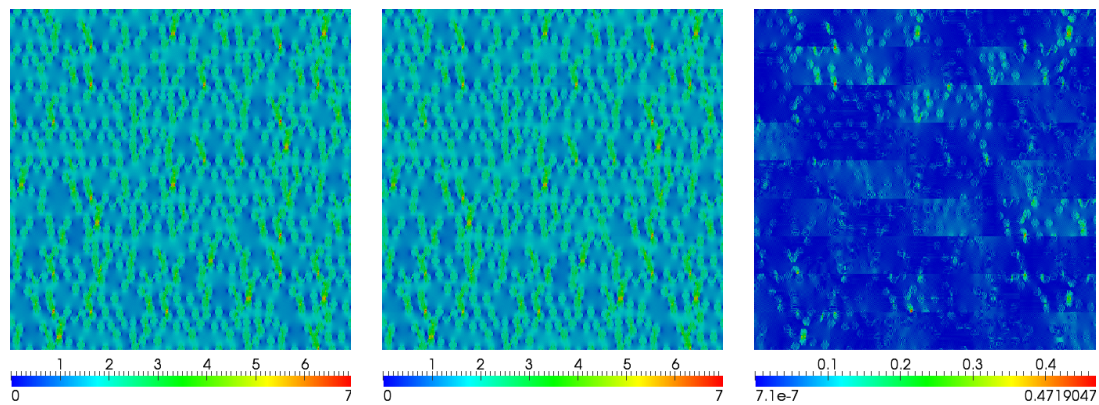
Obrázek B.8: Množina W8/2-2-027, složka napětí σ_y



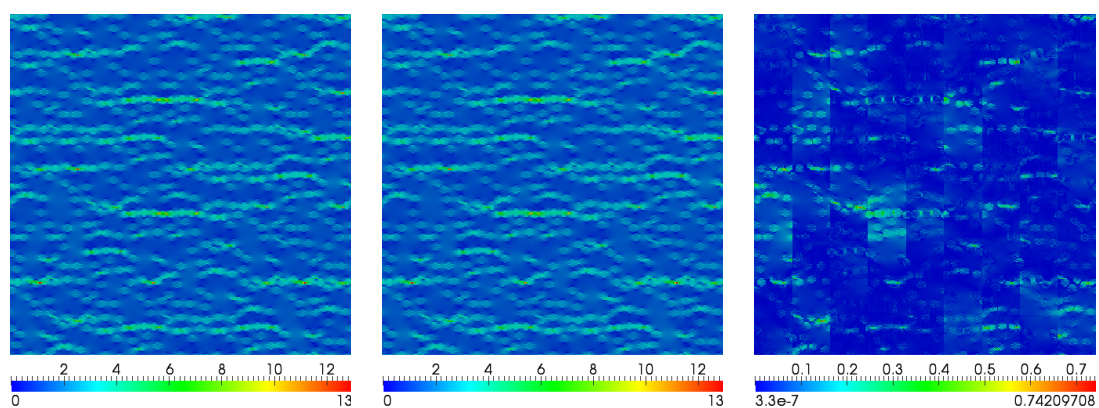
Obrázek B.9: Množina W8/2-2-027, složka napětí σ_z



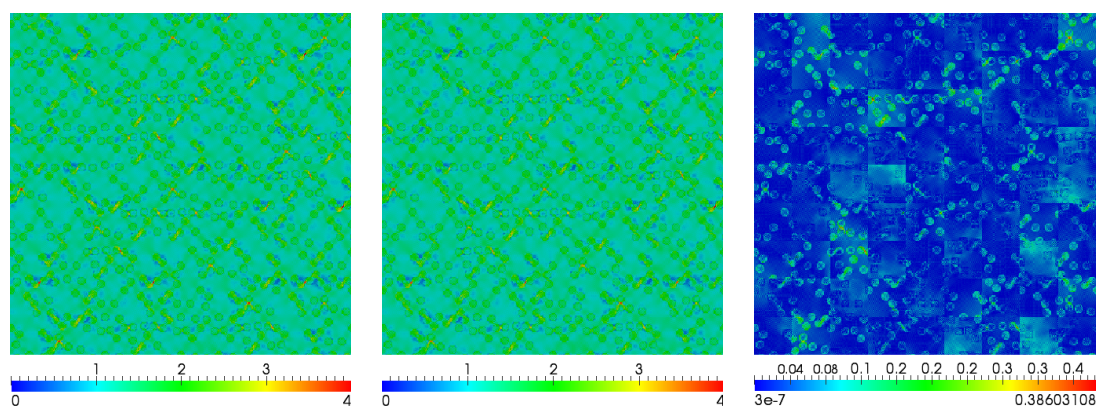
Obrázek B.10: Množina W8/2-2-027, složka napětí τ_{yz}



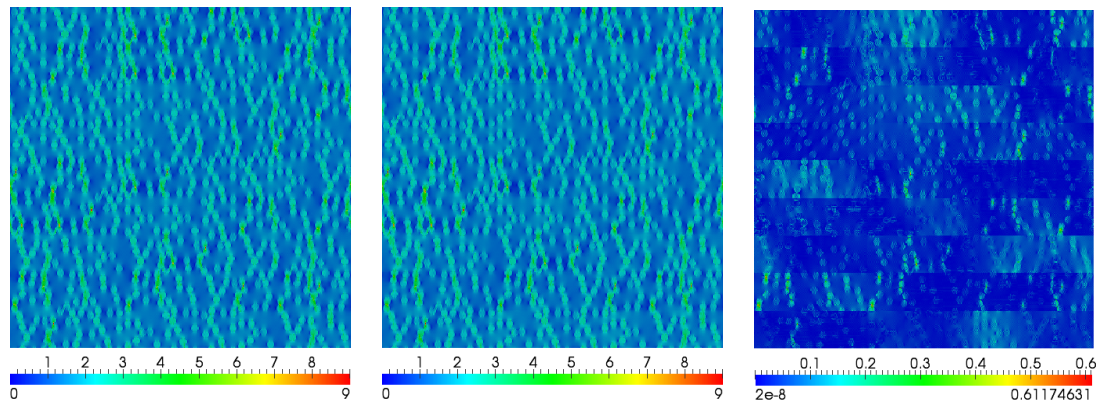
Obrázek B.11: Množina W8/2-2-038, složka napětí σ_y



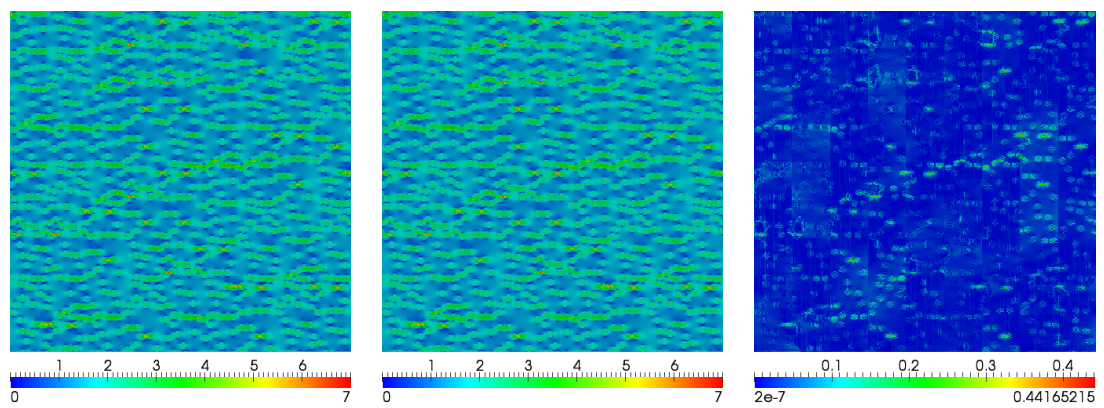
Obrázek B.12: Množina W8/2-2-038, složka napětí σ_z



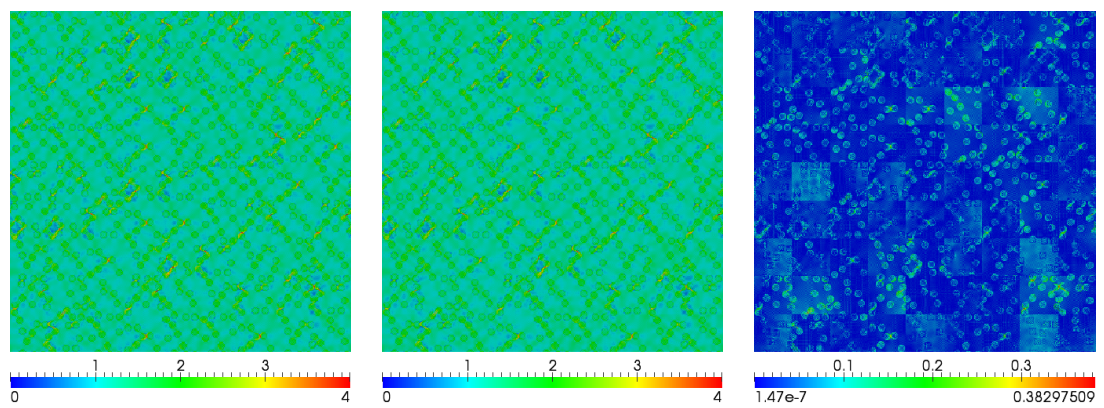
Obrázek B.13: Množina W8/2-2-038, složka napětí τ_{yz}



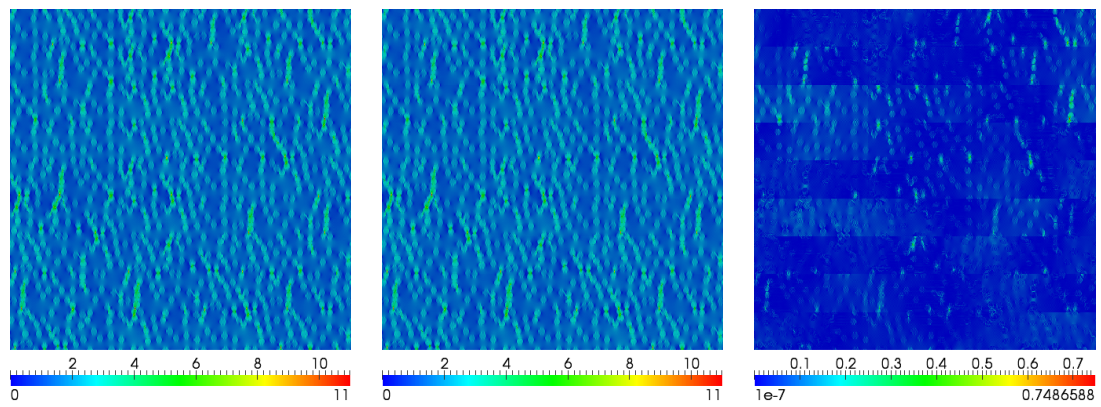
Obrázek B.14: Množina W8/2-2-052, složka napětí σ_y



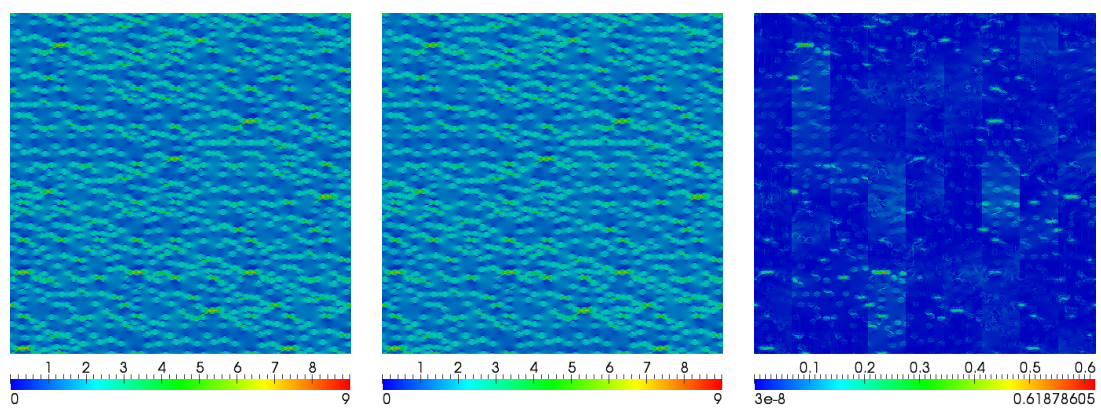
Obrázek B.15: Množina W8/2-2-052, složka napětí σ_z



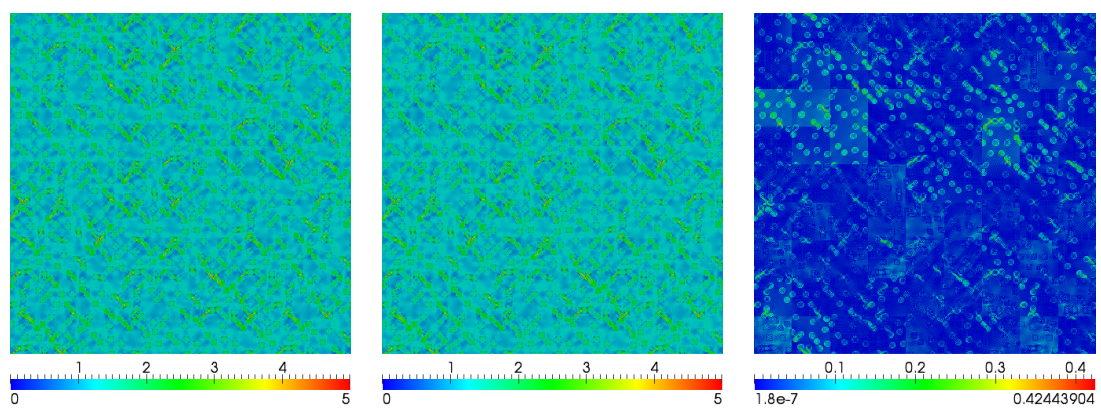
Obrázek B.16: Množina W8/2-2-052, složka napětí τ_{yz}



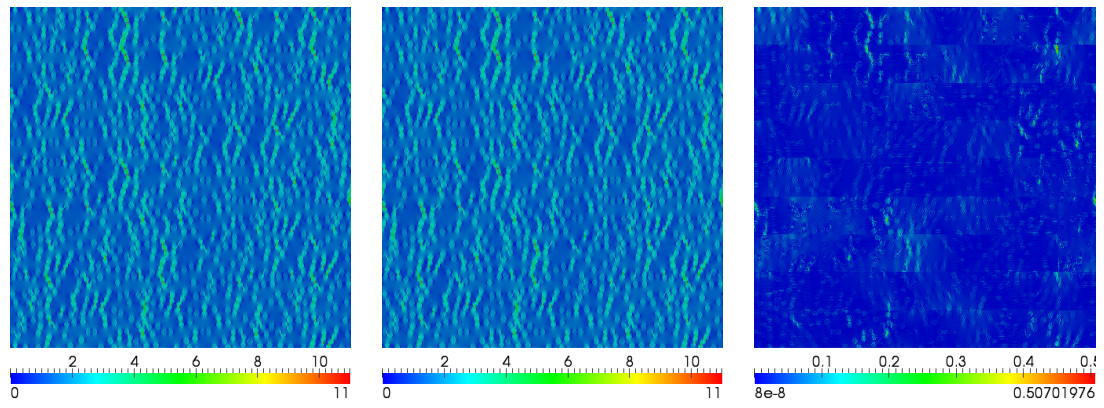
Obrázek B.17: Množina W8/2-2-067, složka napětí σ_y



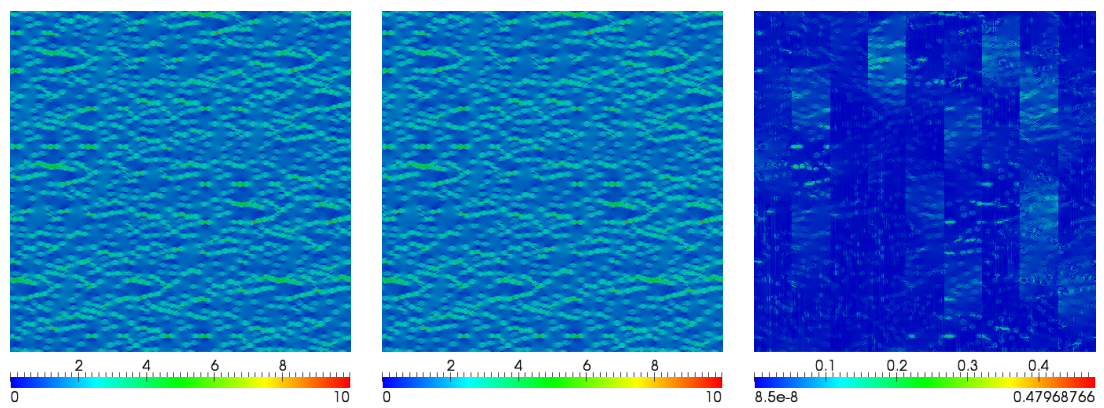
Obrázek B.18: Množina W8/2-2-067, složka napětí σ_z



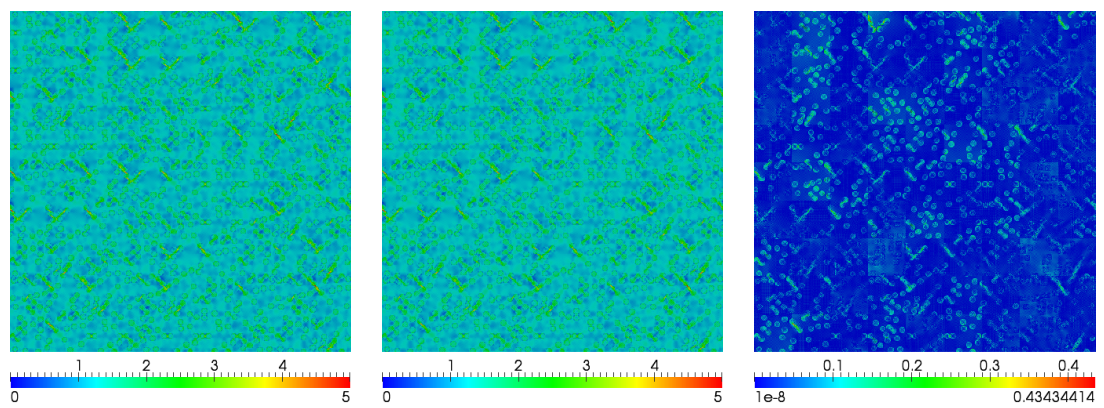
Obrázek B.19: Množina W8/2-2-067, složka napětí τ_{yz}



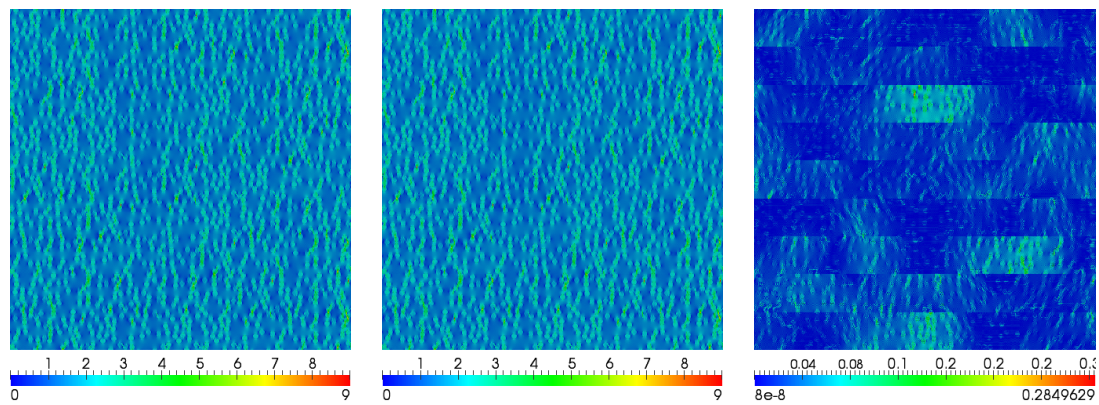
Obrázek B.20: Množina W8/2-2-084, složka napětí σ_y



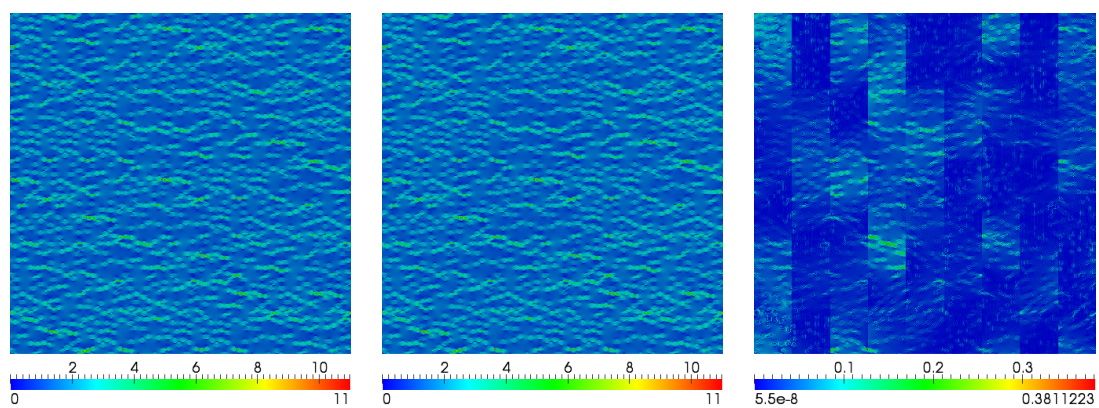
Obrázek B.21: Množina W8/2-2-084, složka napětí σ_z



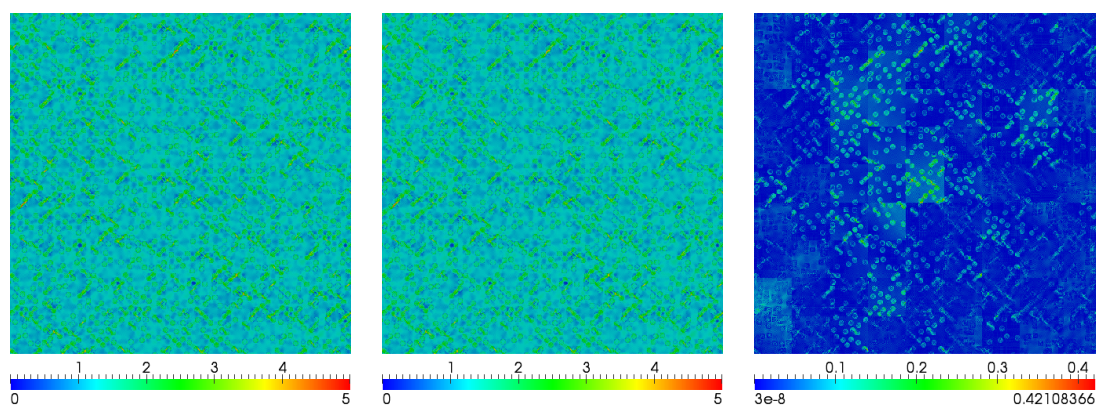
Obrázek B.22: Množina W8/2-2-084, složka napětí τ_{yz}



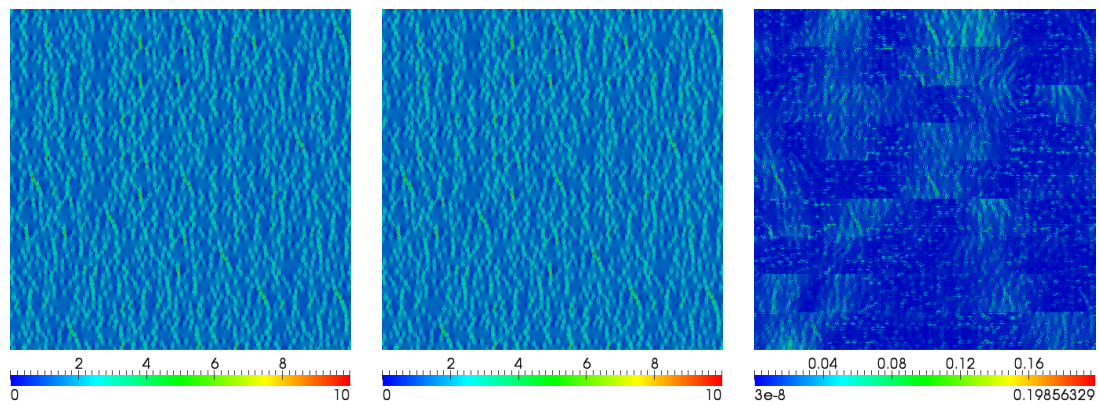
Obrázek B.23: Množina W8/2-2-104, složka napětí σ_y



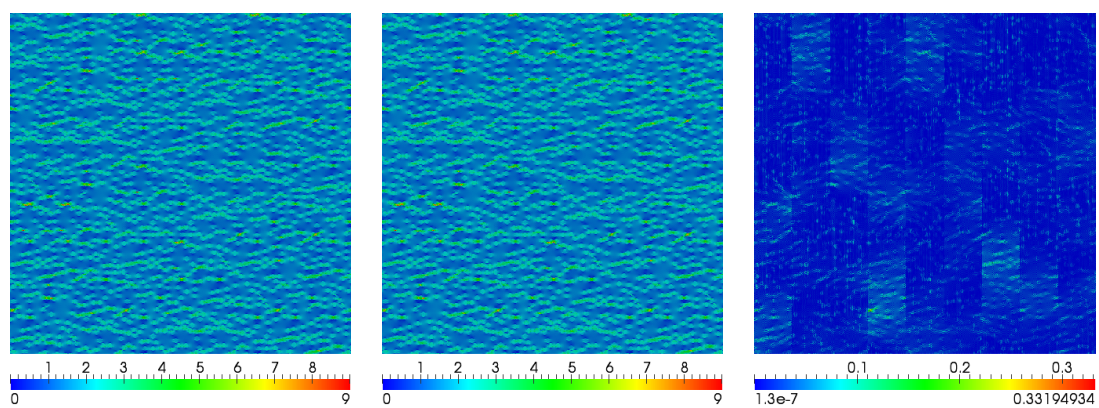
Obrázek B.24: Množina W8/2-2-104, složka napětí σ_z



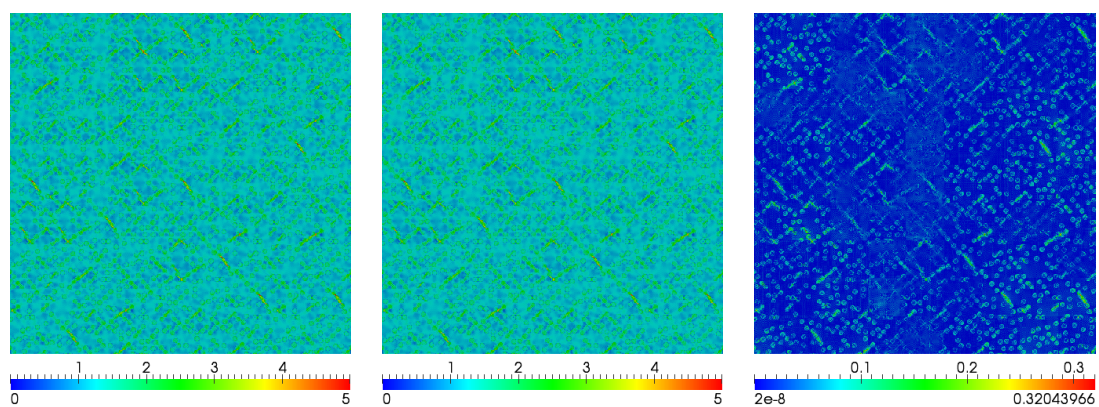
Obrázek B.25: Množina W8/2-2-104, složka napětí τ_{yz}



Obrázek B.26: Množina W8/2-2-125, složka napětí σ_y



Obrázek B.27: Množina W8/2-2-125, složka napětí σ_z



Obrázek B.28: Množina W8/2-2-125, složka napětí τ_{yz}

Příloha C

Seznam použitého softwaru

Následující seznam zahrnuje hlavní použité programy při tvorbě této práce, stejně tak při programování programu popsaného v kapitole 5 a při výpočtech.

- operační systém - Microsoft Windows 7 (64bit)
- editor kódu - Sublime Text 2.0.1
- programovací prostředí - Open Watcom 1.9
- editor jazyka \LaTeX - WinEdt 7.0 a \MiKTeX 2.9
- prohlížeč souborů typu VTK - Paraview 3.14
- kancelářský balík - Microsoft Office 2007

Příloha D

Obsah přiloženého CD

Na přiloženém CD jsou k dispozici tyto soubory.

- DP_2012_Zrubek.pdf - diplomová práce ve formátu PDF
- main.cpp - hlavní soubor programu
- libfftw3-3.dll - dynamická knihovna FFTW (určeno pro MS Windows)
- libw.lib - statická knihovna FFTW (určeno pro MS Windows)
- fftw3.h - hlavičkový soubor knihovny FFTW
- bmp.cpp - knihovna pro práci s binárními bitmapami
- bmp.h - hlavičkový soubor knihovny pro práci s binárními bitmapami
- share.h - hlavičkový soubor obsahující potřebná makra
- postWangTiles.cpp - knihovna pro výstup dat do souborů typu VTK
- postWangTiles.h - hlavičkový soubor knihovny pro výstup dat do souborů typu VTK
- primaryFunctions.cpp - knihovna základních funkcí
- primaryFunctions.h - hlavičkový soubor knihovny základních funkcí
- input_file_opt1.txt - vzorový vstupní soubor pro variantu 1
- input_file_opt2.txt - vzorový vstupní soubor pro variantu 2
- load_cases.txt - vzorový soubor seznamu zatěžovacích stavů
- phases.txt - vzorový soubor seznamu fází
- tiling_map.txt - vzorový soubor mapy dláždění